



## รายงานการวิจัย

การศึกษาโครงรูปผลึกเดี่ยวของวงแหวนคาร์บอนเนต โดยเทคนิค Single

Crystal X-ray Diffraction

(Study of the Molecular Conformation of the Single Crystal Cyclic  
Carbonates by Using X-ray Diffraction Technique)

### หัวหน้าโครงการ

ผู้ช่วยศาสตราจารย์ ดร. อุทัย มีคำ

สาขาวิชาเคมีกรรมพอลิเมอร์

สำนักวิชาเคมีกรรมศาสตร์

มหาวิทยาลัยเทคโนโลยีสุรนารี

ได้รับทุนอุดหนุนโครงการจากมหาวิทยาลัยเทคโนโลยีสุรนารี ปีงบประมาณ 2543

ผลงานวิจัยนี้เป็นความรับผิดชอบของหัวหน้าโครงการแต่เพียงผู้เดียว

ธันวาคม 2547

## กิตติกรรมประกาศ

ผู้เขียนขอขอบคุณห้องปฏิบัติการ X-ray ของภาควิชาเคมี และ นิติวิทยาศาสตร์ (Chemical and Forensic Science) ของมหาวิทยาลัยเบรดฟอร์ด ประเทศอังกฤษ ที่อนุเคราะห์ การวิเคราะห์หัวน้ำ สำหรับงานวิจัยในครั้งนี้ด้วย

## บทคัดย่อ

วงแหวนโลหิติการ์บอนเอนท์มีขนาดวงแหวน 2, 3 และ 4 สามารถเครื่ยม และ แยกบริสุทธิ์ออกมาเป็น พลีกเดี่ยว โดยการตกรตะกอน และ ตกพลีกใหม่ ผลการวิเคราะห์โครงสร้างพลีกเดี่ยวของโมเลกุลวง แหวน 2 ขนาดคือ วงแหวนขนาดเท่ากับ 2 หรือ ไคเมอร์ และ วงแหวนขนาดเท่ากับ 3 หรือ วงแหวน ไตรเมอร์ ด้วยเทคนิค X-ray Diffractometer พบว่า ความเครียดของโมเลกุล เป็นผลมาจากการบิดมุม ของหมู่วงแหวนฟินิล และ สำหรับวงแหวนขนาดเท่ากับ 2 ความเครียดภายในโมเลกุลยังเป็นผลอัน เนื่องมาจากมุมพันธะ และ ความยาวพันธะ ของหมู่คาร์บอนเอนท์ ที่เชื่อมระหว่าง วงแหวนฟินิล ทึ้งสอง ภายในโมเลกุลอีกด้วย

## ABSTRACT

Cyclic oligocarbonate with the ring size of 2, 3 and 4 were synthesized. Precipitation and then recrystallisation were employed to purify those cyclic components. The results from X-ray diffraction reviewed that the molecular strain of those cyclic component was due to the torsion and dihedral angles of the benzene rings in the molecule. For the cyclic dimer, the strain was also noticed for the bond angle and bond length of the carbonate linkage.

## สารบัญ

กิตติกรรมประกาศ	๑
บทคัดย่อภาษาไทย	๒
บทคัดย่อภาษาอังกฤษ	๓
สารบัญ	๔
สารบัญตาราง	๕
สารบัญภาพ	๖
<b>บทที่ ๑ บทนำ</b>	
1. บริบทเบื้องต้น	๑
2. ปฏิกริยาการเตรียมพอดิเมอร์แบบปีคงแห่ง	๓
2.1 ฉลุหยอดคลาสคร์ของปฏิกริยาการเตรียมพอดิเมอร์แบบปีคงแห่ง	๔
2.2 กลไกของปฏิกริยาการเตรียมพอดิเมอร์แบบปีคงแห่ง	๖
3. วัตถุประสงค์ของการศึกษาวิจัย	๘
4. ขอบเขตการวิจัย	๙
<b>บทที่ ๒ วิธีการทดลอง</b>	
1. ความนำ	๑๐
2. วิธีการเตรียมสารประกอบบวงແஹວ	๑๑
2.1 สารเคมี	๑๑
2.2. ปฏิกริยาการเตรียมบวงແஹວ	๑๑
2.3. การแยกบริสุทธิ์สารบวงແஹວ โดยการตقطะกอนแยกส่วน	๑๒
3 เทคนิคการวินิเคราะห์ผลึกเดียวทั่ว X-ray	๑๔
<b>บทที่ ๓ ผลการทดลอง และ วิเคราะห์ผลการทดลอง</b>	
1. ความนำเบื้องต้น	๑๕
2. ผลการวินิเคราะห์คัวชี้เทคนิค X-ray	๑๘
2.1 สารประกอบบวงແஹວ ไอโอลิโกลิโคาร์บอนิกขนาดเท่ากับ ๒	๑๘
2.2 สารประกอบบวงແஹວ ไอโอลิโกลิโคาร์บอนิกขนาดเท่ากับ ๓	๒๓
<b>บทที่ ๔ สรุปผลการทดลอง</b>	๒๘
เอกสารอ้างอิง	๒๙
ประวัติผู้เขียน	๓๐

## สารบัญตาราง

ตารางที่ 3.1 สรุปค่ามุมพันธะ และ ความยาวพันธะของ <i>trans, cis – DPBC (IV)</i>	16
จากผลการวิเคราะห์ด้วยเทคนิค X-ray	
ตารางที่ 3.2 สรุปค่ามุมพันธะ และ ความยาวพันธะของ หมู่พันธะเอสเทอร์ และ พันธะคาร์บอเนต	17
ตารางที่ 3.3 มุมการบิดตัวของหมู่ฟีนิล กับ พันธะที่เกิด ( $\phi$ ) และ มุมสัมผัสระหว่าง หมู่ฟีนิลที่อยู่ตรงข้ามกัน ( $\theta$ )	22
ตารางที่ 3.4 สรุปค่ามุมพันธะ และ ความยาวพันธะ ของสารประกอบบางແ wen ไอดิโอคาร์บอเนต ขนาดเท่ากัน 3 วิเคราะห์ด้วยเทคนิค X-ray	27

## สารบัญภาพ

<b>รูปที่ 3.1</b> ภาพมุมมองแบบ “Stereoscopic” ของวงแหวนไอดิโกร์บอนเนต <b>ขนาดเท่ากับ 2 (Dimer)</b>	<b>20</b>
<b>รูปที่ 3.2</b> ภาพโครงสร้างแบบ <i>trans, cis</i> ของสารประกอบวงแหวนไอดิโกร์บอนเนต <b>ขนาดเท่ากับ 2 (Cyclic Dimer)</b>	<b>21</b>
<b>รูปที่ 3.3</b> ภาพ “Stereoscopic” ของวงแหวนไอดิโกร์บอนเนตขนาดเท่ากับ 3	<b>25</b>
<b>รูปที่ 3.4</b> ภาพโครงสร้างแบบ <i>trans, trans</i> ของวงแหวนไตรเมอร์ จากเทคนิค X-ray	<b>26</b>

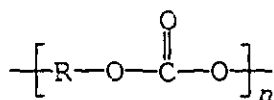
## บทที่ 1

### บทนำ

#### (INTRODUCTION)

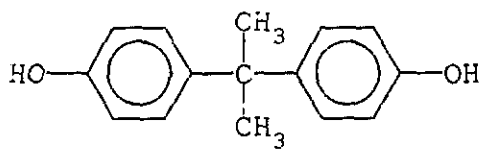
##### 1. บริบทเบื้องต้น (General Introduction)

พอลิคาร์บอเนต (Polycarbonates, PC) เป็นพอลิเมอร์ในตะกุด พอลิอีสเทอโร่ (Ester Polymers) ซึ่งมีหมู่ของกรดคาร์บอนิก (Carbonic Acid) เป็นพันธะเชื่อมระหว่างหน่วยซ้ำ (Repeated Units) ซึ่งพอลิเมอร์ตั้งกล่าวมีโครงสร้างพื้นฐานดังแสดงในรูป (I) ในอุตสาหกรรมพอลิเมอร์ชนิดดังกล่าว จะเตรียมจากปฏิกิริยาระหว่าง ก๊าซฟอสเจน (Phosgene Gas) กับ สารประกอบวงแหวนฟีโนล (Phenol)



(I)

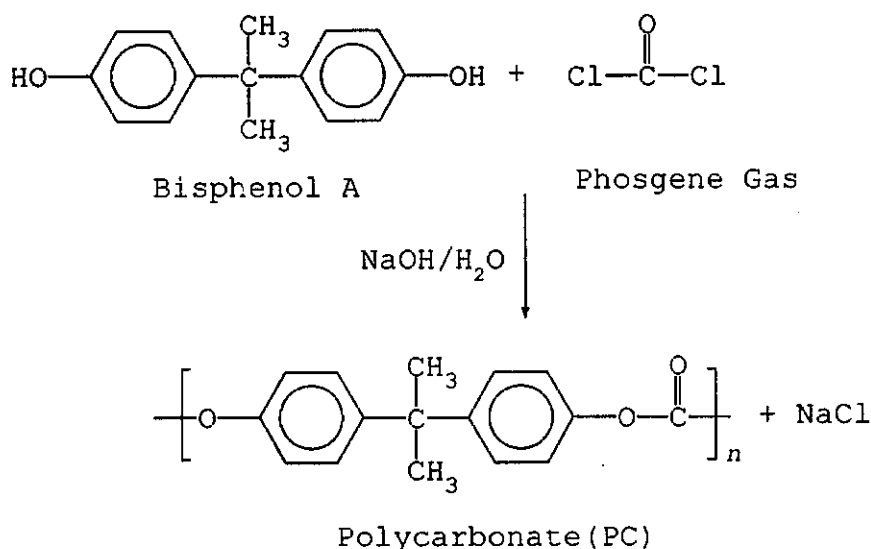
โดยทั่วไป PC สามารถแบ่งแยกประเภทออกได้เป็น 2 ลักษณะ ตามลักษณะโครงสร้างของหมู่ R คือ ชนิดเป็นหมู่คาร์บอนเชิงเส้นตรง (Aliphatics) และ ชนิดที่เป็นหมู่คาร์บอนวงแหวน (Aromatic) ตามลำดับ โดยที่ในชนิดแรกนี้จะมีความสำคัญในเชิงอุตสาหกรรมน้อย เมื่อเทียบกับชนิดที่เป็นแบบวงแหวน ซึ่งมีการนำไปใช้ในอุตสาหกรรมพอลิเมอร์ในปริมาณที่มากกว่า โดยที่ PC ที่ใช้ในอุตสาหกรรมปัจจุบันจะเป็นชนิดที่ หมู่ R เป็นสารประกอบวงแหวนของ “Bisphenol A” หรือชื่อทางวิทยาศาสตร์ ว่า 4,4'-dihydroxy diphenyl-2,2-propane (II)



(II)

พอลิเมอร์ ชนิดนี้จะมีสัญญาณการจัดเรียงตัวของโซ่อิ่มแบบกึ่งผลึก (Semicrystalline) มีค่าความแข็งแรงเชิงกลค่อนข้างมาก เมื่อเทียบกับวัสดุพอลิเมอร์โดยทั่วไป โดยที่ มีค่าความหนืดไขว้ที่ยอดเยี่ยม สามารถใช้งานได้ที่อุณหภูมิสูง ประมาณ 140°C และ มีความใส และ ติดไฟยาก อีกด้วย พอลิเมอร์ชนิดนี้สามารถขึ้นรูปด้วยกระบวนการฉีดเข้าแบบ (Injection Molding) เพื่อผลิตเป็นผลิตภัณฑ์หลากหลายชนิด เช่น ภาชนะบรรจุอาหาร กระจายเว่นตา แผ่นบันทึกชิ้อนูต (Compact Disk, CD) และ ภาครอบไฟในรถยนต์ เป็นต้น

ในเชิงอุตสาหกรรม PC จะเตรียมจากกระบวนการหลักๆ คือ (i) Interfacial Polymerisation (ii) Solution Polymerisation และ (iii) Transesterification โดยที่กระบวนการที่ ใช้กันอย่างแพร่หลาย จะเป็นกระบวนการ Transesterification ซึ่งจะเป็นการทำปฏิกิริยาระหว่างก๊าซฟอสเจน กับ Bisphenol A ในสภาพที่เป็น ค่าง ดังแผนภาพปฏิกิริยาข้างล่างนี้

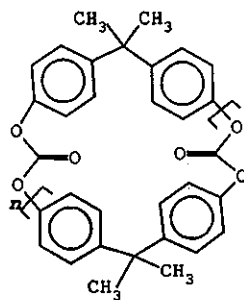


ส่วนในกระบวนการเตรียมแบบสารละลาย (Solution) นั้น สารตั้งต้น ซึ่งเป็น ก๊าซฟอสเจน จะเติมลงไปในสารละลายของ Bisphenol A ที่ละลายอยู่ ในด้วท่าละลาย โดยมีสารเร่งปฏิกิริยาเป็นสารประกอน อะกูเลอเมิน (Amines) เช่น สารประกอนพิริดีน(Pyridine) เป็นสารเร่งปฏิกิริยา (Catalyst) ซึ่งกระบวนการเตรียม พอลิเมอร์ ทั้งสองกระบวนการดังกล่าว ใช้เวลานาน และ มักจะมีสารปนเปื้อนปนอยู่ พอลิเมอร์ที่เตรียมได้ ทำให้ได้พอลิเมอร์ที่ไม่ขาวใส

ส่วนกระบวนการการเตรียมแบบ Transesterification นั้น จะใช้สารเริ่มต้น คือ ไดฟีนิลคาร์บอนेट (Diphenyl Carbonate) ทำปฏิกิริยากับ Bisphenol A ที่อุณหภูมิประมาณ  $290^{\circ}\text{C}$  โดยใช้เวลาการเกิดปฏิกิริยาประมาณ 1 – 2 นาที แต่เนื่องจากเป็นการเตรียมที่อุณหภูมิสูง ทำให้เกิดปฏิกิริยาข้างเคียงที่ไม่พึงประสงค์ ส่งผลต่อพอลิเมอร์ที่เตรียมได้เปลี่ยนไป หรือ อาจจะเกิดโซ่กิ่งเกิดขึ้นบนโซ่หลัก

## 2. ปฏิกิริยาการเตรียมพอลิเมอร์แบบเปิดวงแหวน (Ring Opening Polymerisation)

ปฏิกิริยาการเตรียมพอลิเมอร์โดยการเปิดวงแหวน (Ring Opening Polymerisation) เป็นที่รู้จักกันอย่างแพร่หลายสำหรับปฏิกิริยาแบบเพิ่ม (Addition Polymerisation) ของสารประกอบวงแหวนโดยทั่วไป สำหรับการเตรียม PC จากปฏิกิริยาการเปิดวงแหวน โดยใช้สารประกอบวงแหวน โอลิโคลาร์บอนेट (Cyclic Oligocarbonates, III) ซึ่งเป็นสารประกอบวงแหวนขนาดใหญ่ มีขนาดวงแหวนที่มีค่า  $n$  ตั้งแต่ 2 ถึง 20 [Schnell and Bottenbruch , 1962] ทำให้ได้ผลิตภัณฑ์เป็นพอลิเมอร์ ที่มีค่า่าน้ำหนักโมเลกุลสูงถึง  $200,000 \text{ g/mol}$ . ได้ แต่ปัญหาของกระบวนการดังกล่าว ได้แก่ ปริมาณของสารประกอบวงแหวนที่ผลิตได้แต่ละครั้ง มีปริมาณเล็กน้อย เนื่องจากในปฏิกิริยาการเตรียม สารประกอบวงแหวนดังกล่าวจะต้องเตรียมภายใต้สภาวะที่มีความเข้มข้นต่ำมากๆ



(III)

ต่อมา คณะนักวิจัยจากบริษัท General Electric(GE) [Boden, et al., 1989 และ Brunelle, et. al., 1990] ได้เสนอวิธีการเตรียมวงแหวนโอลิโคลาร์บอนेट ให้ได้ปริมาณที่มากต่อการเตรียมแต่ละครั้ง โดยเรียกวิธีการเตรียมดังกล่าวว่าปฏิกิริยา “pseudo-high dilution” และ เมื่อนำสารประกอบวงแหวนที่เตรียมได้ไปทำให้เกิดปฏิกิริยาพอลิเมอร์ ที่อุณหภูมิ  $250^{\circ}\text{C}$  โดยใช้สารประกอบ เททตระบิวทิวไบโอมเนียม เททระฟีนิลบอร์เรต (Tetrabutylammonium tetraphenylborate,  $n\text{-Bu}_4\text{NPh}_4$ ) เป็นตัวเริ่มต้นปฏิกิริยา

(Initiator) ทำให้ได้โดยตรงของพอลิครูบอนेट ที่มีค่าน้ำหนักโมเลกุลสูงถึง 202,500 g/mol. โดยที่น้ำหนักโมเลกุลจะเป็นสัดส่วนโดยตรงกับ อัตราส่วนปริมาณของ 月中อมเมอร์ คือ สารประกอบของแหวน กับ ปริมาณตัวเริ่มต้นปฏิกิริยา ดังเช่นปฏิกิริยาการเปิดวงแหวนโดยทั่วไป และ ยังพบอีกว่า คุณสมบัติ เชิงกลของพอลิเมอร์ ที่เตรียมได้ไม่แตกต่างไปจาก คุณสมบัติของพอลิเมอร์ที่เตรียมได้โดยวิธีการปกติ ทั่วไป

## 2.1 อุณหพลศาสตร์ของปฏิกิริยาการเตรียมพอลิเมอร์แบบเปิดวงแหวน (Thermodynamic of Ring Opening Polymerisation)

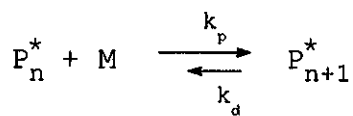
สมการพื้นฐานทางอุณหพลศาสตร์ของปฏิกิริยาเคมี และ ปฏิกิริยาการเตรียมพอลิเมอร์แบบเปิดวงแหวน แสดงในสมการ 1.1 โดยที่เทอม  $\Delta G_p$ ,  $\Delta H_p$ ,  $\Delta S_p$  และ  $T$  คือ ค่าพลังงานอิสระ (Free Energy) เอนทัลปี (Enthalpy) เอนโทรปี (Entropy) และ อุณหภูมิ ตามลำดับ โดยที่ปฏิกิริยาจะเกิดขึ้นได้ค่า พลังงานอิสระ ที่คำนวณได้จะต้องมีค่าเป็นน้อยกว่า “ศูนย์” หรือ มีค่าเป็น “ลบ” โดยที่ค่า พลังงานอิสระสำหรับปฏิกิริยาการเปิดวงแหวน จะได้มาจากการของค่า เอนทัลปี และ เอนโทรปี โดยเป็นผลขั้นตอนของมากปัจจัย 2 ตัว คือ ปัจจัยทางค้านเคมี (Chemical Factor) และ ปัจจัยทางกายภาพ (Physical Factor) ของ月中อมเมอร์ ที่นำมาใช้เตรียมเป็นพอลิเมอร์

$$\Delta G_p = \Delta H_p - T\Delta S_p \quad 1.1$$

ปัจจัยทางค้านเคมีของ月中อมเมอร์ที่สำคัญได้แก่ ขนาดวงแหวนของ月中อมเมอร์ ซึ่งจะส่งผลต่อเนื่องไป ถึงค่าความเครียดภายในของโมเลกุล (Molecular Strain) และ หมุนข้าง (Substitution) ที่เกี่ยวกับ โครงสร้างหลักของ月中อมเมอร์ โดยทั่วไปโมเลกุลวงแหวนขนาดเล็กจะมีค่าความเครียดเนื่องมาจาก พันธะ (Bond Strain) สูง เมื่อเกิดปฏิกิริยาการเปิดวงแหวน จะมีการ舶ายหลังงาน (Exothermic Reaction) ส่วนนี้ออกมาน ทำให้ค่า เอนทัลปี มีค่าเป็น ลบ ทำให้แนวโน้มของค่า พลังงานอิสระของปฏิกิริยา โดยรวม จะมีค่าเป็น ลบ ด้วย เมื่อจากค่าอนโทรปี ของปฏิกิริยาการเกิดพอลิเมอร์ จะมีค่าเป็น ลบ เนื่องจากโมเลกุลของโซ่พอลิเมอร์จะมีความเป็นระเบียบลดลง นั่นเอง สำหรับโมเลกุลวงแหวนที่มีหมุนข้างมากจะกับวงแหวนหลัก จะทำให้ความสามารถในการเกิดปฏิกิริยาลดลง เนื่องจาก หมุนเหล่านี้ จะไป ทำให้ค่า  $\Delta G_p$  มีค่าติด ลบ น้อยลง ตัวอย่าง เช่น โมเลกุลวงแหวนของอัลเคน (Cycloalkane) ที่มีขนาด

เหวนเป็น 5 สามารถใช้เตรียมเป็นพอลิเมอร์ โดยปฏิกริยาเปิดวงเหวนได้ แต่ เมื่อมีหมู่ เมทธิล (Methyl Group) 2 หมู่ มาเกาะเข้าบนวงเหวนดังกล่าว ทำให้ไม่เลกุวงเหวนดังกล่าวไม่สามารถเกิดปฏิกริยาเป็น พอลิเมอร์ได้ [ Ivin and Saegusa, 1984]

ส่วนปัจจัยทางด้านกายภาพ ที่มีผลต่อค่า พลังงานอิสระของปฏิกริยาการเปิดวงเหวน ได้แก่ ความเข้มข้นของมอนอยเมอร์เริ่มต้น อุณหภูมิ ตัวทำละลาย ความดัน และ ความเป็นผลึกของพอลิเมอร์ที่เกิดขึ้น ในขั้นตอนปฏิกริยาการแผ่ขยายของโซ่ (Propagation Reaction) จะมีภาวะสมดุลขึ้นในปฏิกริยาคือ



เมื่อ  $n$  มีค่ามากๆ ดังนั้น ค่าความเข้มข้นของ  $[P_n^*] \approx [P_{n+1}^*]$  ดังนั้นค่าคงที่สมดุลปฏิกริยา (Rate Constant, K) จึงสามารถครุปัลงไปเป็น

$$K = \frac{k_p}{k_d} = \frac{1}{[M]_e} \quad 1.2$$

โดยที่  $[M]_e$  เป็นค่าความเข้มข้นของมอนอยเมอร์ ณ จุดสมดุลย์ และ จากพื้นฐานสมการอุณหพลศาสตร์ของปฏิกริยาเคมี ทั่วไป ที่

$$\Delta G = \Delta G^\circ - RT \ln K \quad 1.3$$

และ ณ จุดสมดุล ค่า  $\Delta G = 0$  ดังนั้น สมการ 1.3 จึงครุปัลงให้อีก

$$\Delta G^\circ = -RT \ln K = RT \ln [M]_e \quad 1.4$$

และ ณ อุณหภูมิเพดานการเกิดปฏิกริยา (Ceiling Temperature,  $T_c$ ) ค่า  $\Delta G = 0$  และ สถานะ มาตรฐาน (Standard Condition) สมการค่าพลังงานอิสระ จะมีเท่ากับ  $\Delta G_p^\circ = \Delta H_p^\circ - T_c \Delta S_p^\circ$  ดังนั้น เมื่อแทนค่า  $\Delta G_p^\circ$  ลงไว้ในสมการ 1.4 แล้วจัดรูปสมการใหม่ จะได้

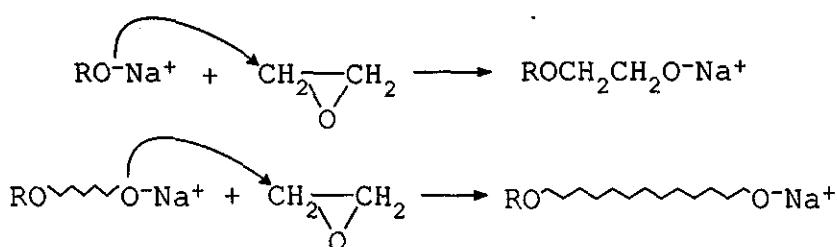
$$T_c = \frac{\Delta H_p^\circ}{\Delta S_p^\circ + R \ln [M]_e} \quad 1.5$$

จากสมการ 1.5 จะเห็นว่า ค่าความเข้มข้นของอนโนเมอร์ ณ จุดสมดุล จะขึ้นอยู่กับค่า เออนทัลปี แมกโนไทรปี และ จะส่งผลต่อค่า พลังงานอิสานะโดยตรง

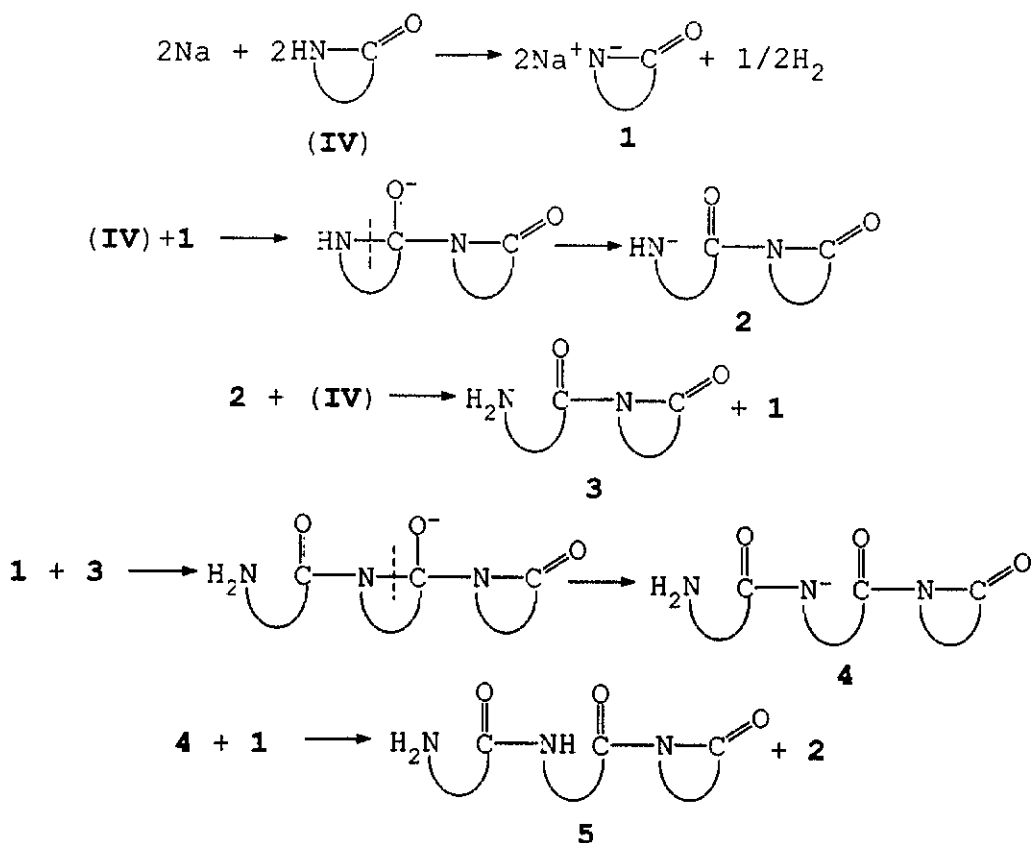
## 2.2 กลไกของปฏิกิริยาการเตรียมพอลิเมอร์แบบเปิดวงแหวน (Mechanism of Ring Opening Polymerisation)

สำหรับกลไกการเกิดปฏิกิริยาการเปิดวงแหวนของอนโนเมอร์ นั้น จะแบ่งตามชนิดของตัวเริ่มต้นปฏิกิริยา (Initiators) ที่ใช้ โดยทั่วไป จะใช้ตัวเริ่มต้นปฏิกิริยา ชนิดที่ เป็น ประจุลบ (Anionic) ประจุบวก (Cationic) และ หมู่อนุมูลอิสระ (Free Radical)

สารเริ่มต้นปฏิกิริยาแบบประจุลบ ที่นิยมใช้โดยทั่วไปได้แก่ โซเดียม 1 (Alkali Metals) และ สารประกอบกรีนาด (Grinard Reagents, RMgX) โดยที่กลไกปฏิกิริยาแบบใช้ หมู่ประจุลบนี้ แยกได้ ออกเป็น 2 กลุ่ม คือ กลุ่มแรกจะเป็นกลุ่ม ที่ใช้ที่กำลังแผ่ขยายนาคออก (Propagated Chain) เป็นตัวเข้าทำปฏิกิริยากับมอนโนเมอร์ ตัวต่อไป ดังเช่น การเกิดปฏิกิริยาเปิดวงแหวนของ เอทิลีนอ๊อกไซด์ (Ethylene Oxide) ดังแสดงในแผนภาพข้างล่างนี้

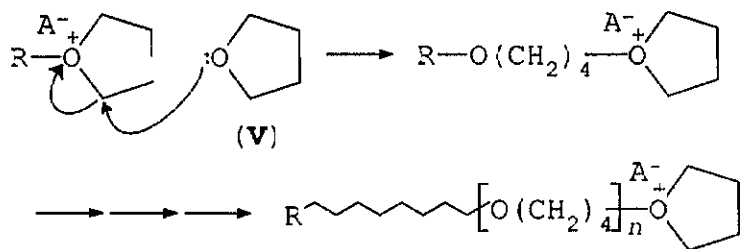


สำหรับกลไกในกลุ่มที่ 2 เป็นตัวอย่างในปฏิกิริยาการเปิดวงแหวนของ แลคแทม (Lactams, IV) ใน การเตรียม ในลอน ซึ่งเป็นกลไกคล้ายกับปฏิกิริยาการเตรียมพอลิเมอร์แบบกลั่นตัว (Condensation Polymerisation) โดยมีขั้นตอนกลไกปฏิกิริยาดังแสดงในแผนภาพข้างล่างนี้

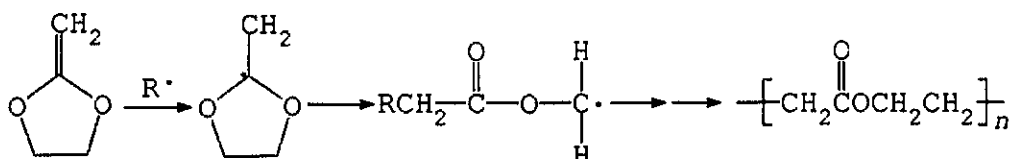


โดยในที่สุด โนเดกุล 5 ก็จะมีความยาวเพิ่มขึ้นเรื่อยๆ จนกระทั้ง ได้ใช้พอลิเมอร์ ที่มีความยาวเพิ่มมากขึ้น ตามลำดับ

ส่วนกลไกปฏิกิริยาการเปิดวงแหวน โดยใช้ประจุบวกนั้น ตัวเริ่มต้นปฏิกิริยาได้แก่ การประกอบของกรดลิวิส (Lewis Acids) เช่น  $\text{BF}_3$ ,  $\text{AlCl}_3$ , และ  $\text{FeCl}_3$  เป็นต้น [Dreyfuss and Dreyfuss, 1966 และ Ivin and Saegusa, 1984] ตัวอย่างของปฏิกิริยาการเปิดวงแหวน โดยใช้ตัวเริ่มต้นประจุบวก ได้แก่ปฏิกิริยาการเตรียมพอลิเมอร์จาก เททหาระไ索โครฟูราน (Tetrahydrofuran, V) [Penczek, et. al., 1980]



สำหรับกลไกการเกิดปฏิกิริยาการเปิดวงแหวนแบบใช้หมู่อนุมูลอิสระ เป็นตัวเริ่มต้นปฏิกิริยา นั้น ไม่ค่อยพบเห็นมากนัก ตัวอย่างของปฏิกิริยาดังกล่าว เช่น การเกิดปฏิกิริยาของสารประกอบวงแหวนได้เทอเซอร์บิวทิเบอร์ร็อกไซด์ (di-tert-butyl peroxide, VI) ดังแสดงในแผนภาพข้างล่างนี้



จากกลไกกลไกปฏิกิริยาที่ได้กล่าวมาสำหรับสารประกอบวงแหวนโดยไม่ใช้การรับอนุต นั้นพบว่าสามารถเกิดปฏิกิริยาการเปิดวงแหวน ได้เป็นไซโพลีเมอร์คาร์บอนเนต โดยใช้ตัวเริ่มต้นปฏิกิริยาแบบประจุลบ บิวทิลิทียม (*n*-Butyllithium) และ นอกจากนี้ยังพบว่า ยังสามารถเกิดปฏิกิริยาเป็นพอดิเมอร์ โดยการเปิดวงแหวน ภายใต้สภาวะของแข็ง (Solid State Polymerisation) โดยไม่ใช้ตัวเริ่มต้นปฏิกิริยา อีกศักรย [Meekum, 1997] ทำให้เกิดข้อสงสัยว่า สารประกอบวงแหวนควรรับอนุตดังกล่าวสามารถเกิดปฏิกิริยาการเกิดวงแหวน อันเนื่องมาจาก ตัวประทางปัจจัยทางอุณหพลศาสตร์ ตัวใดกันแน่ โดยปัจจัยที่น่าจะเป็นไปได้มากที่สุด ได้แก่ ค่าตัวประทางeron ໂທຣປີ โดยเป็นผลอันเนื่องมาจากค่าความเครียด ภายใต้ความกดอากาศ

### 3. วัตถุประสงค์ของการศึกษาวิจัย (Research Objective)

จากที่กล่าวมาข้างต้น เกี่ยวกับปัจจัยทางเคมี ของสารประกอบวงแหวนโดยไม่ใช้การรับอนุต ที่ทำให้สารประกอบวงแหวนดังกล่าวสามารถเกิดปฏิกิริยาการเปิดวงแหวน และ ผลลัพธ์ที่ได้เป็นอย่างของพอดิเมอร์ ที่มีขนาดของโซ่อีวาชีน ทำให้เกิดคำถามว่าปัจจัยทางเคมีดังกล่าวได้แก่ อะไร โดยมี

ข้อสมมุติฐานว่า ปัจจัยทางเคมี ที่ทำให้สารประกอบบงແஹวนดังกล่าวเกิดปฏิกิริยาการเปิดวงแหวนได้น่าจะเป็น ความเครียดภายในโมเลกุล (Molecular Strain) ซึ่งอาจจะเป็น มุมพันธะ (Bond Angles) หรือ ความยาวพันธะที่ได้ ซึ่งการจะตอบข้อสมมุติฐานเหล่านี้ได้ วิธีการหนึ่งที่จะให้คำตอบได้ ก็คือ การวิเคราะห์จากการจัดวางโครงสร้างของโมเลกุล (Molecular Configuration) โดยวิธีการ X-ray Diffraction ของผลึก ของสารประกอบบงແஹวนดังกล่าว ดังนั้น จุดประสงค์หลักของการวิจัยศึกษา ในครั้งนี้ได้แก่

- (1) เพื่อศึกษาการจัดวางโครงสร้างของสารประกอบบงແஹวนโดยการบอนเดต และ (2) เส้าไกกลไกการเกิดปฏิกิริยาการเปิดวงแหวนโดยการบอนเดต

#### 4. ขอบเขตการวิจัย (Scope of Research)

ขอบเขตงานวิจัย จะมีขอบเขตการวิจัย คือ การสังเคราะห์สารประกอบบงແஹวน จากสารประกอบ คลอโรฟอร์เม็ต ของ สารประกอบฟีโนอล เอ (Bischloroformate of Bisphenol A) และ ทำการแยก สารประกอบบงແஹวนออกเป็นผลึกเดียวบริสุทธิ์ และ จากนั้นจึงนำผลึกเดียวบริสุทธิ์ ดังกล่าวไป วิเคราะห์จากการจัดวางโครงสร้างของโมเลกุล ด้วยเทคนิค Single X-ray Diffraction เพื่อหาค่ามุมพันธะ และ ความยาวพันธะ ของโมเลกุล เปรียบเทียบกัน

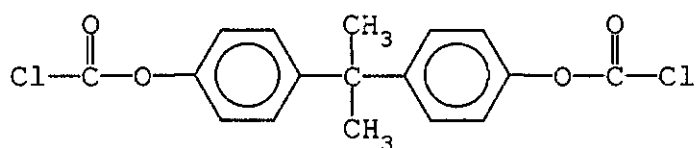
## บทที่ 2

### วิธีการทดลอง

### (EXPERIMENTAL)

#### 1. ความนำ (Introduction)

ในการเตรียมสารประกอบของแหวนคาร์บอนเนต หรือ วงแหวน โอลิโกลิคาร์บอนเนต จะเตรียมจากปฏิกิริยา ที่มีชื่อเรียกง่ายๆ ว่า “Pseudo-high Dilution Reaction” ซึ่งปฏิกิริยาจะเกิดในวัฏภาค 2 วัฏภาค (Interfacial Reaction) ระหว่างวัฏภาคของ น้ำ กับของเหลวอินทรีย์ ไดคลอโรเมธาน (Dichloromethane) โดยมีสารประกอบ ไตรเอมีน (Triamine) ทำหน้าที่เป็นตัวเร่งปฏิกิริยา กลไกปฏิกิริยาประกอบด้วย 2 ปฏิกิริยาเกิดขึ้นตามลำดับคือ ปฏิกิริยาการถ่ายตัว (Hydrolysis) และ ตามด้วยปฏิกิริยาควบแน่น (Condensation) ของสารประกอบเริ่มต้น คือ บิสคลอโรฟอร์เมิต ของ บิสฟีโนอล เอ (Bischloroformate of Bisphenol A (BCF), I) [Brunelle *et al.*, (1990)]



(I) Bis(chloroformate) of Bisphenol A

ในการศึกษาโครงสร้างของแหวน ด้วยเทคนิค X-ray Driffractometer มีจุดประสงค์หลักก็เพื่อ วิเคราะห์ หา ลักษณะการจัดวางของโมเลกุล ที่จะส่งผลถึงค่าความเครียดภายในโมเลกุล (Molecular Strain) ซึ่งจะเป็นแรงผลักดันทำให้โมเลกุลวงแหวนนี้ สามารถเกิดปฏิกิริยาการเปิดวงแหวน ได้ผลลัพธ์ เป็น ไซต์ของพอดิเมอร์เกิดขึ้น ใน การวิเคราะห์จะทำการเปรียบเทียบมุมพันธะ (Bond Angles) ความ ยาวพันธะ (Bond Length) และ ลักษณะการจัดวางของหมู่ต่างๆ ภายในโมเลกุล เปรียบเทียบ กับผลการ วิเคราะห์ที่จากจากเทคนิคเดียวกัน ของ โมเลกุลที่มีลักษณะคล้ายกับ โมเลกุลของไซต์ของพอดิカリบอนเนต ซึ่งถือว่า โมเลกุลเหล่านี้ เป็น โมเลกุลที่อยู่ในสภาวะเสถียรตัวที่สุด และ ไม่มีความเครียดภายในโมเลกุล (Relaxed State)

## 2. วิธีการเตรียมสารประกอบวงแหวน (Preparation of Cyclic Oligocarbonate)

### 2.1 สารเคมี (Reagents)

สารเคมีทุกชนิดที่ใช้ในการศึกษาวิจัย ในครั้งนี้ จะจัดซื้อมากจากผู้ผลิตโดยตรง และ ใช้โดยที่ไม่ได้ทำการทำให้บริสุทธิ์ขึ้นอีกครั้ง ก่อนนำไปใช้ในการทดลอง

สารเริ่มต้นหลักที่ใช้เตรียม สารประกอบวงแหวน ได้แก่ สารบิสคลอร์โฟอร์เมต ของ บิสฟีโนล เอ (Bischloroformate of Bisphenol A (BCF)) จากบริษัท Aldrich ส่วนตัวทำละลาย และ สารประกอบบีน่า เช่น ตัวทำละลายเบนเซน (Benzene) ตัวทำละลายไดคลอร์โรมีเทน (Dichloromethane), ไตรเอมีน (Triamine) 2-โพพานอล (2-Propanol) ควรบันทึกซัลไฟฟ์ (Carbon Disulphide) เป็นต้น จัดซื้อมากจาก บริษัท Jensen

### 2.2. ปฏิกิริยาการเตรียมวงแหวน (Reaction Preparation)

ในขวดก้นกลมขนาด 500 มิลลิลิตร ที่มีฝาปิดประกอบด้วยคอเข็มข้น 5 คอ (Round Bottom, Five-necked Resin Flask) เพื่อใช้ในการเติมสาร เติมน้ำกรองอิオโซน (Deionized) ลงไปปริมาณ 7.0 มิลลิลิตร ของเหลวไตรเอมีนจำนวน 2.4 มิลลิลิตร สารละลายเบนเซน โซเดียมไฮดรอกไซด์ (Sodium Hydroxide) เข้มข้น 9.75 โมล จำนวน 3.0 มิลลิลิตร และ ตัวทำละลายไดคลอร์โรมีเทนปริมาณ 200 มิลลิลิตร ที่ปั่นผสมด้วยใบพัดความที่อุณหภูมิ  $40^{\circ}\text{C}$

ในสภาวะปิด ทำการค่อยๆ หยดสารละลายของ BCF ที่ละลายอยู่ในตัวทำละลายไดคลอร์โรมีเทนความเข้มข้น 0.30 โมล จำนวน 200 มิลลิลิตร ผ่านกระบวนการอกรายด์ โดยให้ป逵าของเหลวคงอยู่ได้ สารละลายที่อยู่ในขวดปฏิกิริยา และปรับอัตราการไหลของสารละลายให้มีอัตราการหยดไอลปริมาณ 6.5 มิลลิลิตร ต่อ นาที ขณะเดียวกันก็ทำการหยดสารละลายเบนเซน โซเดียมไฮดรอกไซด์ ความเข้มข้น 5.75 โมล ปริมาณ 50.0 มิลลิลิตร จากกระบวนการอกรายด์ โดยควบคุมการหยดให้อยู่ในช่วงเวลา 20 นาที ส่วนของเหลวไตรเอมีน ปริมาณ 2.4 มิลลิลิตร จะค่อยหยดลงไปในสารละลายโดยใช้เข็มฉีดยา โดยที่ค่อยๆ หยดลงไปที่ตะขอ ให้เสร็จภายในเวลา 25 นาที เมื่อยดสารละลาย BCF จนหมดแล้ว ปล่อยให้ปฏิกิริยาดำเนินไปอีก 15 นาที หลังจากนั้นทำการหยุดปฏิกิริยาด้วยกรดไฮดรอกซิริก เข้มข้น

20% โดยปริมาตร จำนวนประมาณ 60 มิลลิลิตร หรือ เติมลงไปจนกระทั่งสารละลายในขวดปฏิกิริยา มีสภาพเป็นกรด ซึ่งทดสอบโดยใช้กระดาษ pH

เมื่อหุคปฏิกิริยาเสร็จแล้วทำการแยก เอาชิ้นสารละลายอินทรีย์ ออกจากชิ้นที่เป็นสารละลายของน้ำ ทำการกำจัดเอกสาร ไครเอนิน และ สารอินทรีย์ที่ปนเปื้อนในชิ้นของสารละลายอินทรีย์ออก โดยการสกัดแยก (Extraction) ด้วยกรดไฮโดรคลอริก เพิ่มขึ้น 20% ปริมาณ 50 มิลลิลิตร จำนวน 2 กรัม จำนวนนี้ ก็ทำการสกัดส่างค่าน้ำของ ปริมาตร 50 มิลลิลิตร จำนวน 2 กรัม เช่นกัน นำชิ้นของสารละลาย อินทรีย์ที่ได้ ไปทำให้เข้มข้นมากขึ้น โดยการสั่นระเหยเอาตัวทำละลายออก ให้เหลือปริมาตรประมาณ 20 มิลลิลิตร แล้วจึงนำไปตกตะกอน (Precipitation) และ ต้มกลับ (Refluxing) ในตัวทำละลายอะซิโคน ปริมาตร 100 มิลลิลิตร เป็นเวลา 2 ชั่วโมง เนพะใช้ตวงของพอยล์เมอร์ และ ไมเลกุลวงแหวนขนาด หมิ่นา (Macro Cyclic) จะตอกตะกอนแยกออกจากสารละลาย หลังจากนั้นทำการกรองสารละลาย ขยะที่อุ่นอยู่ เพื่อแยกเอกสารละลายวงแหวนที่คล้ายอยู่ในตัวทำละลาย ออกจากสารประกอบของแข็ง

จากนั้นจึงนำสารละลายที่แยกได้ไปทำให้แห้ง ในเครื่องปั่นก้อนแห้ง (Rotary Evaporator) และ นำ ของแข็งที่ได้ไปอบแห้งอีกครั้งในตู้อบอุณหภูมิ 50°C เป็นเวลากันประมาณ 6–8 ชั่วโมง

### **2.3. การแยกบริสุทธิ์สารวงแหวนโดยการตอกตะกอนแยกส่วน (Fractionation of Cyclic Oligocarbonates)**

วงแหวนที่เตรียมได้จาก 2.2 จะมีขนาดของวงแหวนตั้ง แต่ 2 ชิ้นไป ผสานรวมกันอยู่ ในการแยกสารประกอบวงแหวนขนาด 2 (Cyclic Dimer) ขนาด 3 (Cyclic Trimer) และ ขนาด 4 (Cyclic Tetramer) ออกจากกัน จะใช้วิธีการตอกตะกอนแยกส่วน (Fractionation) ซึ่งเป็นวิธีการที่ประยุกต์มาจากการของ Brunelle และ คณะ[1990].

นำของแข็งวงแหวนผสมจำนวน 2.00 กรัม มาละลายในสารละลายผสมระหว่างตัวทำละลาย อะซิโคน ไฮคลอโรมีเซน และ 2-โพพานอล ในอัตราส่วน 70:29:1 โดยนำหันก จำนวน 10.0 มิลลิลิตร ทำการอุ่น ละลายที่อุณหภูมิประมาณ 40°C เมื่อละลายสมบูรณ์ แล้ว นำกลับไปแช่ช่องแข็งในตู้เย็นที่อุณหภูมิ ประมาณ -5°C เป็นเวลา 2 – 3 ชั่วโมง วงแหวนขนาดเท่ากัน 4 หรือ วงแหวนเครตรามอร์ จะตอกตะกอน ออกมานในรูปของแข็งสีขาวทำการกรองแยกเอกสารของแข็ง ออกจากสารละลาย และจะถูกทำความสะอาด

ของแข็งที่กรองได้ ด้วยตัวทำละลายผสมที่เย็นในปริมาณ 10 มิลลิตร จำนวน 2 ครั้ง แล้วนำของแข็งที่สังกะสีมาดแล้ว ไปอบให้แห้งในตู้อบสูญญากาศ ที่อุณหภูมิ  $50^{\circ}\text{C}$  นาน 6 – 8 ชั่วโมง

นำสารละลายที่กรองแยกได้ ไปกำจัดเอาตัวทำละลายออกใน เครื่องหมุนกลั่นแยก จากนั้นนำของแข็งที่ได้ ไปอุ่นละลายในตัวทำละลายควรบ่อน้ำซักไฟฟ์ ปริมาตร 10 มิลลิตร เมื่อละลายสมบูรณ์ นำสารละลายที่ละลายได้ ไปตกตะกอนโดยการแช่ในช่องแข็ง ในตู้เย็น ที่อุณหภูมิประมาณ  $-5^{\circ}\text{C}$  นาน 1–2 ชั่วโมง ของแข็งวงแหวนขนาดเท่ากับ 2 หรือ วงแหวนไคเมอร์ จะตกตะกอนออกมาจากการละลายในรูปของเกล็ดของแข็งสีขาว ทำการแยกผลึกของแข็งออกจากวงแหวน ด้วยกระบวนการกรอง แล้ว จะถ้างำความสะอาดผลึกด้วยสารละลายผสมที่แช่เย็น ระหว่าง อะซิโตน และ เชิ๊กเซน ในอัตราส่วน 60:40 โดยปริมาตร จำนวน 5 มิลลิตร 2 ครั้ง เพื่อจะถางกำจัดวงแหวนขนาด 3 หรือ วงแหวนไทรเมอร์ ที่อาจจะตกตะกอนร่วมออกมา จากนั้นจึงนำของแข็งวงแหวนที่แยกได้ไปทำให้แห้ง ในตู้อบสูญญากาศ ที่อุณหภูมิ  $50^{\circ}\text{C}$  นาน 6 – 8 ชั่วโมง

นำสารละลายที่กรองได้ และ ได้แยกเอาสารประกอบวงแหวนขนาด 4 และ ขนาด 2 ออกไปแล้ว มาทำให้แห้งในเครื่องปั่นแห้ง หลังจากนั้นนำไปละลายในตัวทำละลายเบนซิน ปริมาณ 10 มิลลิตร อุ่น ละลายที่อุณหภูมิ  $40^{\circ}\text{C}$  จากนั้นจึงทิ้งสารละลายที่ได้ให้ก่ออยู่ เย็นตัวลงที่อุณหภูมิห้อง หลังจากเวลา ผ่านไปประมาณ 6 – 8 ชั่วโมง ผลึกสีขาวของสารประกอบวงแหวนขนาดเท่ากับ 3 จะตกผลึกออกมานำการกรองแยกเอาผลึกของแข็งออกจาก ของเหลว ถางผลึกด้วยตัวทำละลายเบนซินที่เย็น 2 ครั้งๆ ละ ประมาณ 10 มิลลิตร แล้วจึงนำไปอบให้แห้งที่อุณหภูมิ  $50^{\circ}\text{C}$  ในตู้อบสูญญากาศ

ผลึกเดี่ยว (Single Crystal) ของแข็งของสารประกอบวงแหวน ทั้ง 3 ชนิด ที่แยกออกมายัง จะนำมาทำให้มีความบริสุทธิ์ มากขึ้น โดยวิธีการตกผลึกใหม่ (Recrystallisation) ในตัวทำละลายเบนซิน โดยการนำผลึกของแข็งประมาณ 0.02 กรัม ละลายในตัวทำละลายเบนซินปริมาตร 10 มิลลิตร อุ่นละลายที่อุณหภูมิ  $40^{\circ}\text{C}$  แล้วทั้งทั้งไว้ให้ตกตะกอนที่อุณหภูมิห้องเป็นเวลา 6 – 8 ชั่วโมง เนพาะผลึกของวงแหวนขนาดเท่ากับ 2 เท่านั้น ที่ทำการแยกออกจาก ตัวทำละลาย แล้ว ทำให้แห้งในตู้อบสูญญากาศ ส่วนผลึกวงแหวนขนาดเท่ากับ 3 และ 4 ซึ่งคงทิ้งไว้ในตัวทำละลายเบนซิน เมื่อจากการกรองเอานาเบนซินออกแล้ว ทำให้แห้ง จะทำให้ก้อนผลึกยุบ ตัวกล้ายเป็นผงละเอียดนาคเล็ก ซึ่งผลของตัวทำละลายเบนซิน คือ โครงสร้างของเม็ดลึกนี้ จะได้ก่อร้าวต่อไปในบทที่ 3

### 3. เทคนิคการวิเคราะห์ผลึกเดี่ยวด้วย X-ray (X-ray Crystallography of Single Crystal)

ผลึกเดี่ยว (Single Crystal) ของสารประกอบวงแหวน ที่ตกตะกอนแยกส่วนได้ และ ทำให้บริสุทธิ์เพิ่มมากขึ้น โดยการตกผลึกใหม่ ในตัวทำละลายเบนซิน การควบคุมขนาดของผลึกให้มีขนาดใหญ่ขึ้นสามารถกระทำได้โดย ควบคุมให้การตกผลึกอย่างช้าๆ และ การเคาะผนังด้านนอกของขวดแก้วตกผลึกอย่างเบาๆ ก็ จะช่วยให้การตกผลึกได้ดี และ ได้ผลึกที่มีขนาดใหญ่ขึ้นด้วย เนื่องจากวงแหวนขนาดเท่ากัน 2 เท่านั้น ที่ทำการแยกออกจากตัวทำละลายเบนซิน แล้วไปทำให้แห้งสนิท ส่วนผลึกวงแหวนขนาด 3 ยังคงทึ้งไว้ในตัวทำละลายเบนซิน ส่วนผลึกวงแหวนขนาด 4 นั้น ได้ผลึกรูปเข็มขนาดเล็ก เพราะไม่สามารถแยก หรือ เคลื่อนย้ายออกจากตัวทำละลายได้

ในการวิเคราะห์ผลึกเดี่ยวด้วยเทคนิค X-ray Diffractometer นี้ ได้ส่งตัวอย่างไปวิเคราะห์ที่ ภาควิชาเคมี และ นิติวิทยาศาสตร์ (Department of Chemical and Forensic Science) มหาวิทยาลัยเบรดฟอร์ด (University of Bradford) ประเทศอังกฤษ โดยใช้เครื่องมือวิเคราะห์ของบริษัท Siemen (Powder Diffraction and Single Crystal Diffractometers)

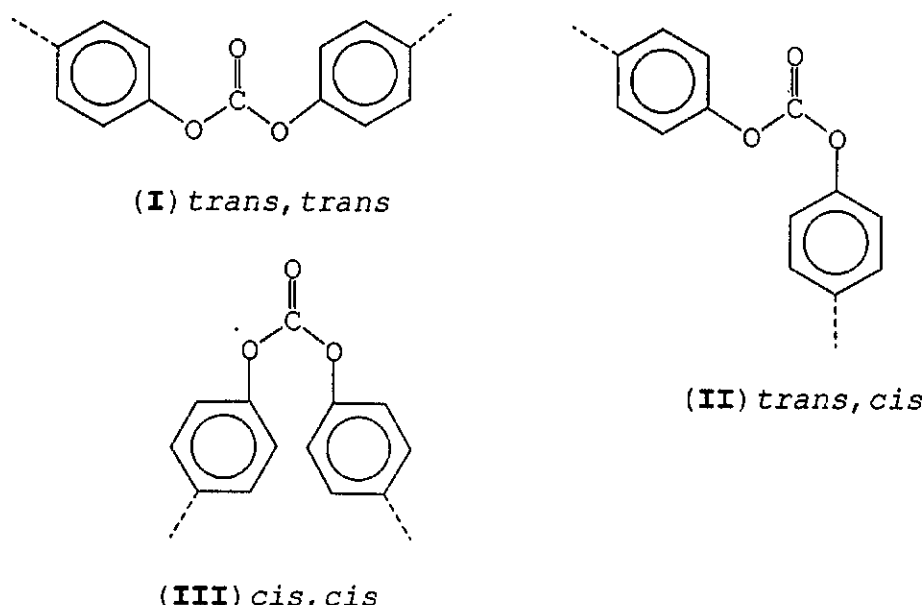
ผลึกเดี่ยวสารประกอบวงแหวนขนาด 2 จะนำไปวิเคราะห์ด้วยเทคนิค X-ray โดยตรง โดยใช้ “Stoe-circle Diffractometer” ส่วนสารประกอบวงแหวนขนาด 3 นั้น จะทำการถ่ายรูปผลึกวงแหวน จำนวน 1 ผลึก พร้อมกับ ตัวทำละลายเบนซิน ใส่ในหลอดแก้วที่เชื่อมปิดปลายข้างหนึ่งขนาดเด็นผ่าศูนย์กลางประมาณ 2 มิลลิเมตร หลังจากที่กำจัดเอาฟองอากาศ ที่ติดอยู่บนหลอด โดยใช้漉漉เชี่ยฟองอากาศให้แทกออก แล้วทำการเชื่อมหลอดปิดปลายอีกด้านหนึ่งของหลอดแก้วด้วยเปลวไฟ แล้วจึงนำไปวิเคราะห์ โดยใช้ “Stoe-circle Diffractometer” เช่นกัน

## บทที่ 3

### ผลการทดลอง และ วิเคราะห์ผลการทดลอง (RESULTS AND DISCUSSION)

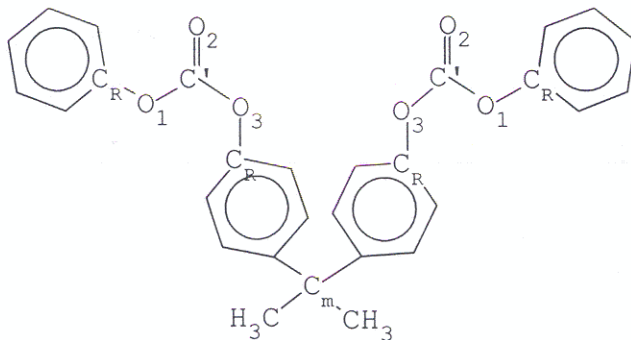
#### 1. ความนำเบื้องต้น (Introduction)

สำหรับโครงรูปของสารประกอบการบอนเนต อาจจะกำหนดการจัดตำแหน่งของหมู่ที่มา kakage กับ พันธะ carbon-oxygen ได้ในลักษณะของ ทรานส์ (*trans*-) และ ซีส (*cis*-) ได้ เป็น 3 ลักษณะคือ *trans, trans* (I), *tran, cis* (II) ซึ่งเหมือนกับ *cis, trans* และ ตุดท้ายจัดเรียงแบบ *cis, cis* (III) สำหรับใช่ตรงของพอลิ คาร์บอเนตนี้ การจัดเรียงตัวแบบ *trans, trans* จะเสถียรตัวมากที่สุด ส่วนการจัดเรียงตัวแบบ' *cis, cis* จะเป็นโครงรูปที่ไม่เสถียรตัวมากที่สุด เนื่องจากจะเกิดการผลักกัน (Steric Effect) ของหมู่ฟินิล (Phenyl Groups) ภายในไมเลกุลเดียวกัน แต่ พนว่าโครงสร้างแบบ *trans, trans* มีพลังงานภายใต้ กว่าโครงสร้างแบบ *trans, cis* ประมาณ 6.2 kJ/mole [Willian and Flory,(1968)]



สำหรับไมเลกุลตัวแบบของ 4,4' ไอโซไพรพิลิดินไดฟินิล บีส ฟินิลคาร์บอเนต(4,4'-isopropylidene-bis-phenylcarbonate (DPBC), IV) ที่ใช้เป็นมาตรฐานเบรย์บเทียน ซึ่งโครงสร้างไมเลกุลของ DPBC ได้

มีการศึกษามาก่อนหน้านี้แล้ว [Dulmage et. al.,(1978)] สำหรับโครงสร้างที่เป็นแบบ *trans*, *cis* มีขนาดของมุนพันธะ และ ความยาวพันธะ จากการศึกษาด้วยเทคนิค X-ray ดังสรุปในตารางที่ 3.1



(IV) DPBC

ตารางที่ 3.1 สรุปค่ามุนพันธะ และ ความยาวพันธะของ *trans*, *cis* – DPBC (IV) จากผลการวิเคราะห์ด้วยเทคนิค X-ray

ชนิดของพันธะ	มุนพันธะ (degree)	ความยาวพันธะ (Å)
$C_R-O_1-C$	119.0	1.430, 1.300
$C_R-O_3-C$	116.0	1.440, 1.360
$O_1-C-O_2$	129.0	1.300, 1.190
$O_3-C-O_2$	119.0	1.360, 1.190
$O_1-C-O_3$	113.0	1.300, 1.360

สำหรับตารางที่ 3.2 จะแสดงสรุปขนาดมุนพันธะ และ ความยาวพันธะ ของสารประกอบของ เอสเทอร์ วงแหวน (Aromatic Esters) และ คาร์บอนเนตวงแหวน ที่สภาวะปกติ ไม่มีความเครียดภายในโมเลกุล ที่ได้ตีพิมพ์ในวารสารวิชาการต่างๆ โดยข้อมูลที่แสดง ได้จากการวิเคราะห์ด้วยเทคนิค X-ray เช่นกัน จากข้อมูลจะเห็นว่า ความยาวพันธะ และมุนพันธะสำหรับหมู่ เอสเทอร์ และหมู่คาร์บอนเนตไม่แตกต่างกันมากนักแต่ค่ามุนพันธะในหมู่คาร์บอนเนตจะแตกต่างกันบ้างทั้งที่อย่างเช่นมุนพันธะของ  $C_R-O_1-C$ ,  $O-C-O$ ,

และ O-C-O จะแตกต่างกัน ขึ้นอยู่กับธรรมชาติของหมุนที่มีนาฬิกาติดกับ หมุนพันธะการบอนเดต โดยการประมาณค่ามุมพันธะของทั้ง 3 จะพบว่าอยู่ในช่วง  $133^\circ - 120^\circ$ ,  $108^\circ - 114^\circ$  และ  $123^\circ - 129^\circ$  ตามลำดับ

ตารางที่ 3.2 สรุปค่ามุมพันธะ และ ความยาวพันธะของ หมุนพันธะเอสเตอร์ และ พันธะ การบอนเดต

ชนิดของพันธะ	มุมพันธะ (degree)	ความยาวพันธะ (Å)
เอสเตอร์:		
$C_R-O_1-C'$	$117.6^a$ $115.0^b$ $118.3^c$	$1.412, 1.368$ $1.443, 1.335$ $1.413, 1.317$
$O_1-C'-O_2$	$123.9^\circ$ $123.2^b$ $123.1^c$	$1.335, 1.195$ $1.368, 1.190$ $1.317, 1.194$
การบอนเดต:		
$C_R-O_1-C'$	$121.0(120.0)^d$ $113.0(113.0)^f$ $116.0(119.0)^g$ $109.0^f$	$1.420, 1.320$ $1.360, 1.340$ $1.443, 1.330$ $1.330$
$O_1-C'-O_3$	$108^d$ $114.0^f$ $113.0^g$ $105.8^h$ $111.0^f$	- - - - -
$O_1-C'-O_2$	$126.0^d$ $129.0(119.0)^g$ $124.5^f$	$1.320, 1.210$ $1.320 \pm 0.003, 1.190$ $1.330, 1.150$

<sup>a</sup> ข้อมูลจาก p-phenylenediacrylic acid diphenyl ester [Nakashi et al., (1978)] <sup>b</sup> ข้อมูลจาก p-phenylenediacrylic acid dimethyl ester[Ueno et al., (1978)] <sup>c</sup> ข้อมูลจาก phenyl benzoate [Adams and Morsi, 91976] <sup>d</sup> ข้อมูลจาก diphenyl carbonate [Erma et al., (1982)] <sup>e</sup> ข้อมูลจาก polycarbonates [Williams and Flory, (1968)] <sup>f</sup> ข้อมูลจาก 4,4'-isopropylidenediphenyl-bis-phenylcarbonates [Dulmage et al., (1978)] <sup>g</sup> ข้อมูลจากการคำนวณ [Bicerano and Clark, (1988)] และ <sup>h</sup> ข้อมูลจาก ethylene carbonate[Brown, (1954)]

## 2. ผลการวิเคราะห์ด้วยเทคนิค X-ray (X-ray Crystallography)

จากการสังเกตด้วยตาผ่านกล้องชุลทัศน์ กำลังขยายประมาณ 100 เท่า พบว่าลักษณะของผลึกวงแหวนขนาดเท่ากับ 2 หรือ ไตรเมอร์ ที่ผ่านการทำให้มีขนาดเล็กใหม่ ในตัวทำละลายเบนซิน จะมีลักษณะเป็นเหลี่ยม 6 เหลี่ยม มีความหนาประมาณ 0.5 มิลลิเมตร และ มีขนาดเส้นผ่าศูนย์กลางอยู่ระหว่าง 2 – 3 มิลลิเมตร มีลักษณะ似

ส่วนวงแหวนขนาดเท่ากับ 3 หรือ ไตรเมอร์ ซึ่งหลังจากทำการตอกผลึกใหม่ในตัวทำละลายเบนซิน และ ขังคงต้องแข็งในสารละลายเบนซินตลอดเวลา ไม่สามารถแยกเอาเบนซินออกได้ เพราะเมื่อระเหยยาเบนซินออกจนแห้ง ผลึกของแข็งจะหยุนตัวแตกละเอียดเป็นผง จากการสังเกตลักษณะของผลึกที่อยู่ในตัวทำละลายเบนซิน พบว่าผลึกจะมีสีปูร่าเงิน ลักษณะเป็นผ้า หนาประมาณ 0.2 มิลลิเมตร กว้างประมาณ 0.5 มิลลิเมตร และ ยาวประมาณ 1 มิลลิเมตร จากการทดสอบอัตราการละเหยของเบนซิน โดยการจับเวลาว่า ความเป็นผลึกของวงแหวนขนาด 3 นี้ จะสูญเสียความเป็นผลึกไปเมื่อไร เมื่อตัวทำละลายเบนซิน ระเหยตัวแห้งไป จากเครื่อง X-ray พบว่า เบนซินจะระเหยออกไปด้วยอัตราเร็ว 50% โดยปริมาตร ต่อชั่วโมง

ส่วนผลึกของวงแหวนขนาด 4 นั้น หลังจากทำการตอกผลึกใหม่ในเบนซินแล้ว พบว่า มีขนาดของผลึกคล้ายแห่งเข็มขนาดเด็ก มีความกว้างโดยประมาณ 0.2 มิลลิเมตร มีลักษณะประมาณ จันไปสามารถแยกออกเป็นลิ่มผลึกเดียวๆ ได้ และ จะแตกหักเนื่องจากแรงสั่นสะเทือนระหว่างการขนย้ายผลึกคังกล่าว

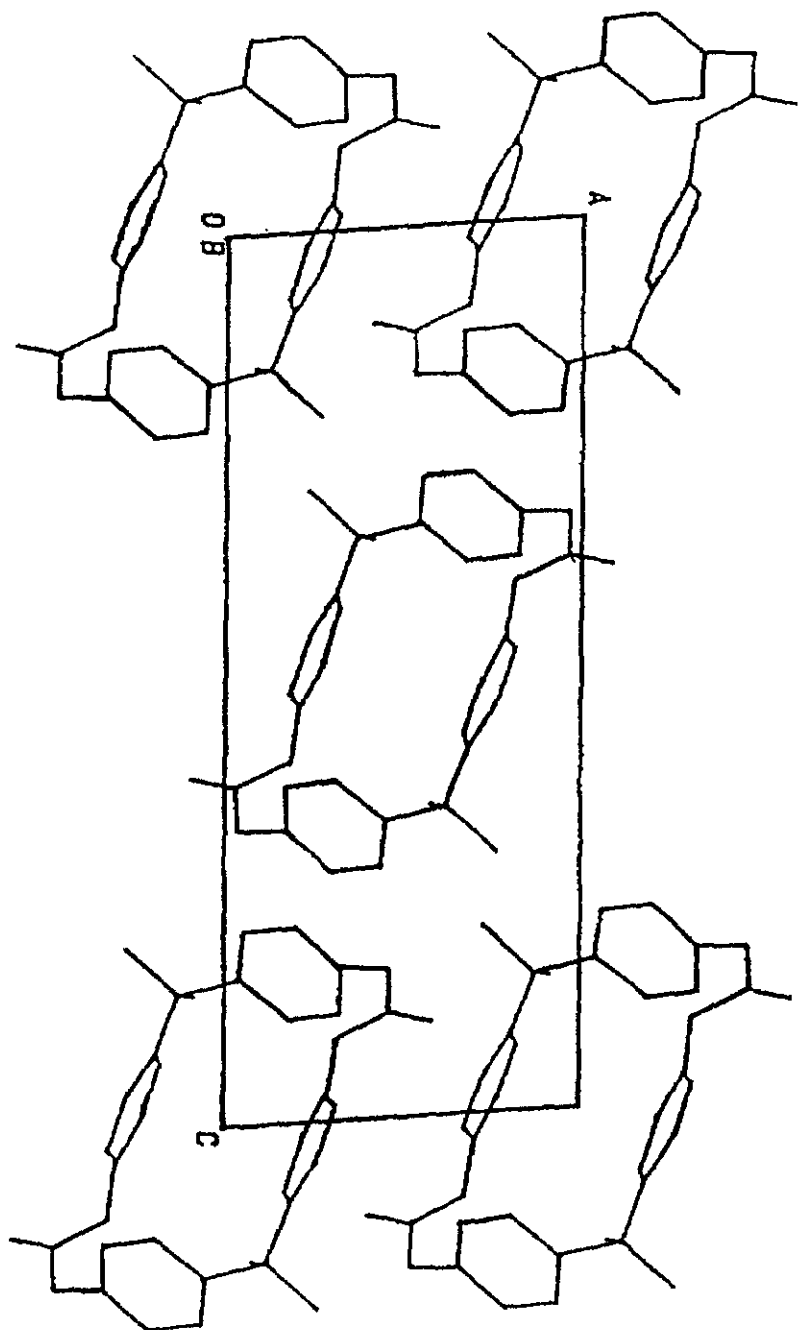
### 2.1 สารประกอบวงแหวนโอลิโกลิโคาร์บอนิเตชนาตามที่เท่ากับ 2 (Cyclic Dimer)

รูปที่ 3.1 แสดงภาพมุมมองแบบ “Stereoscopic” ของการจัดวางโครงสร้างผลึกเดี่ยวของวงแหวนไคเมอร์ ที่ได้จากเทคนิค X-ray ส่วนภาพที่ 3.2 แสดงภาพโครงไม้เลกุลของวงแหวนที่จัดตัวกันอยู่ในผลึก และ การกำหนดตัวเลขของหมุดต่างๆ ที่ประกอบกันเป็นไม้เลกุล ของวงแหวนผลึกไคเมอร์ โดยการกำหนดตัวเลขจะกำหนดเฉพาะคริ่งหนึ่งของไม้เลกุลเท่านั้น ส่วนอีกคริ่งหนึ่งเนื่องจากไม้เลกุลมันสมมาตรกัน และ เป็นภาพตะขอกระชากซึ่งกัน และ กัน จะไม่ได้ตัวเลขลงไป จากผล X-ray จะพบว่า หมุนฟินิล บน บีสฟีโนล อี (Bisphenol A Phenyl) จะมีการวัดวงไม้เลกุลแบบ *trans, cis* กับพันธะหมู่คาร์บอนิเต และ หมู่คาร์บอนิล (Carbonyl Groups) จะขึ้นอยู่กับขนาดของวงแหวน ซึ่ง

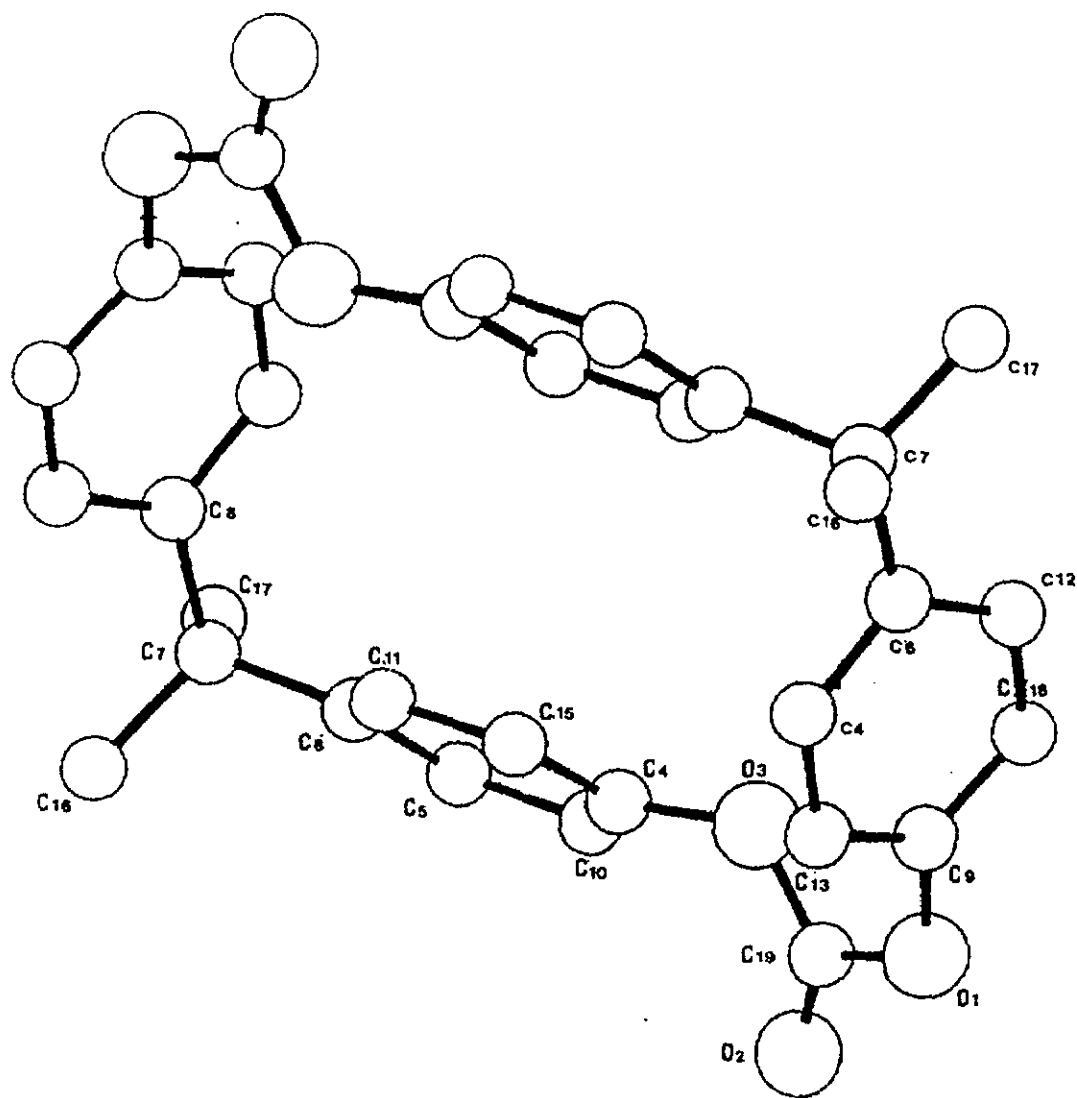
อาจจะอธิบายได้ว่าในกรณีของวงแหวนขนาด 2 สำหรับอนิล ชี้เข้าหากันในช่องว่างของวงแหวน ก็จะเกิดการผลักกันของอะตอนอีอกซิเจน ทำให้ไม่เลกุลไม่เสถียร ทำให้มีพลังงานภายในสูงเกินไป ดังนั้น สำหรับวงแหวนขนาด 2 แล้ว ไม่เลกุลจึงชอบที่จะให้หมู่คาร์บอนิลชี้ออกจากศูนย์กลางของ ไม่เลกุล เพื่อลดพลังงานภายในไม่เลกุลลง

อย่างไรก็ตาม จากที่ได้กล่าวมาในตอนต้นแล้วว่า สำหรับโซ่อุปทานของหมู่ฟีนิล กับพันธะคาร์บอนेट เป็นแบบ *trans, trans* เนื่องจากมีพลังงานภายใน ต่ำกว่าการจัดเรียงแบบ *trans, cis* ดังนั้น เมื่อสารประกอบวงแหวนนี้ เกิดปฏิกิริยาการเปิดวงแหวน ของวงแหวน *trans, cis* นี้ ไปเป็นโซ่อุปทานที่มีการจัดเรียงหมู่แบบ *trans, trans* ซึ่งมีพลังงานต่ำกว่า ก็จะมี การพยายามลดลง ทำให้ค่า เออนทัลปี มีค่าเป็นลบ มากขึ้น แล้วก็ส่งผลทำให้ค่า พลังงานอิสระ มี ค่าเป็นลบมากขึ้น เช่นเดียวกัน ซึ่งทำให้ปฏิกิริยาการเปิดวงแหวนสามารถเกิดขึ้นได้ดีขึ้นด้วย หรือ กล่าว ชิแกนเนี่ยนก็คือ วงแหวนขนาด 2 ที่มีการจัดเรียงไม่เลกุลเป็นแบบ *trans, cis* มีความเสถียรตัวน้อยกว่า โซ่อุปทานที่มีการจัดเรียงตัวแบบ *trans, trans* ดังนั้นการจัดเรียงตัวแบบ *trans, cis* ของวงแหวน เป็นสาเหตุ ของการเกิดความเครียดภายในไม่เลกุล (*Molecular Strained*) นั่นเอง

สำหรับการศึกษาองค์การบิดตัวของหมู่ฟีนิล ของไม่เลกุลไดฟีนิลคาร์บอนेट (*Diphenyl Carbonate*) ที่ มีการจัดโครงสร้างเป็นแบบ *trans, trans* โดยวิธีการคำนวณ และ ด้วยเทคนิค X-ray [Erman *et al.*, (1982)] พบว่า ระนาบมุนของวงแหวนฟีนิลทั้ง 2 จะหมุนตามเข็ม และ หวนเข็มนาฬิกา กับระนาบของ หมู่คาร์บอนิล โดยทำมุมประมาณ  $45^\circ$  ตามลำดับ ทำให้ระนาบของวงแหวนฟีนิลทั้ง 2 ทำมุมซึ่งกันและ กัน เป็นมุม  $90^\circ$  เหตุผลของการจัดเรียงตั้งในลักษณะดังกล่าว อันเนื่องมาจากการ เกิดการผลักกันระหว่าง อะตอนของอีอกซิเจน บนหมู่คาร์บอนิล กับ อะตอนของไชโตรเจนบนวงแหวนฟีนิล นั่นเอง และ จาก การศึกษาการจัดเรียงของไม่เลกุลของ DPBC จากเทคนิค X-ray ก็ยังพบว่ามุมดังกล่าวมีค่าเป็น  $88.6^\circ$  และ  $81^\circ$  ตามลำดับ ซึ่งใกล้เคียงกับไม่เลกุลของ ไดฟีนิลคาร์บอนेट ซึ่งค่ามุมที่วัดได้จากไม่เลกุลทั้ง 2 ถือว่าเป็นค่า มุมสำหรับไม่เลกุลที่ปราศจากความเครียด (*Unstrained* หรือ *Relaxed Molecules*)



รูปที่ 3.1 ภาพมุมมองแบบ “Stereoscopic” ของวงแหวน ไอคลิโกรบอเนต ขนาดเท่ากับ 2 (Dimer)



รูปที่ 3.2 ภาพโครงสร้างแบบ *trans, cis* ของสารประกอบวงแหวน皂甙โดยการบอนเดชนาค  
เพ่ากัน 2 (Cyclic Dimer)

ตารางที่ 3.3 สรุปค่าของมุมการบิดตัวของหมู่ฟีนิลของวงแหวนไคเมอร์จากตารางจะเห็นว่าเปรียบเทียบ มุมการบิดตัวของหมู่ฟีนิล สัมผัสกับหมู่ที่เกิดพันธะอยู่ (Torsion Angle,  $\phi$ ) เช่น พันธะคาร์บอนेट หรือ คาร์บอน และ มุมสัมผัสระหว่างวงแหวนฟีนิลทั้ง 2 ข้างของพันธะที่กระทำซึ่งกัน และ กัน (Interplanar Dihedral Angle,  $\theta$ ) จะพบว่า สำหรับของวงแหวนไคเมอร์ จะแตกต่างจากโมเลกุลที่อยู่ในสภาวะกายตัว อย่างเห็นได้ชัด จากผลการทดลองดังกล่าว ทำให้เชื่อได้ว่า การบิดตัวของวงแหวนฟีนิลดังกล่าว จากมุม ปักติ มีส่วนทำให้เกิดความเครียดภายในโมเลกุล (Molecular Strain) ของวงแหวนเองด้วย

ตารางที่ 3.3 มุมการบิดตัวของหมู่ฟีนิล กับ พันธะที่เกิด ( $\phi$ ) และ มุมสัมผัสระหว่างหมู่ฟีนิล  
ที่อยู่ตรงข้ามกัน( $\theta$ )

สารประกอบ	Ph-O-CO-O-Ph ( $\phi,\phi/\theta$ )	Ph-C-Ph ( $\phi,\phi/\theta$ )
Theoretical	44,44/88	48, 48/_
Diphenyl Carbonate	45, 45/90	_
DPBC	_	46, 46/_
Diphenyl Ester <sup>a</sup>	65.0, _/24.6	_
Cyclic Dimer	77.6, 47.3/73.3	64.7, 38.4/73.3
Cyclic Trimer	52.1, 55.8/91.4 60.9, 48.9/76.4 37.7, 40.2/70.3	40.9, 62.9/85.6 41.9, 63.7/85.6 53.5, 32.5/63.5

<sup>a</sup>ข้อมูลจาก Nakanishi *et al.* [Nakanishi *et al.*, (1978)]

มุมพันธะ และ ความยาวพันธะ ของวงแหวนขนาดเท่ากับ 2 ที่วิเคราะห์หาค่าได้จากเทคนิค X-ray นี้ สรุปไว้ในตารางที่ 3.4 จากผลการวิเคราะห์พบว่า ขนาดความยาวพันธะของ C-O และ C-O ของหมู่ คาร์บอนेट มีค่าใกล้เคียงกับ ค่าความพันธะ ที่รายงานไว้ในตารางที่ 3.2 สำหรับสารประกอบวงแหวน เอสเทอร์ และ วงแหวนออกไซด์ที่มีความพันธะ เช่นเดียวกัน กับมุมพันธะของ O-C-O และ O-C-O ซึ่งมีค่า อยู่ในช่วงค่ามุมของโมเลกุลที่ไม่มีความเครียดภายในโมเลกุล ยกเว้นมุมระหว่างพันธะของ พันธะ  $C_{19}-O_3-C_{14}$  ที่มีค่ามากกว่าประมาณ  $2^\circ$  เมื่อเทียบกับ มุมพันธะของโมเลกุลที่ไม่มีความเครียดเลย ซึ่งการ ที่มุมพันธะดังกล่าวมีขนาด มากกว่ามุมพันธะในโมเลกุลที่ไม่มีความเครียด เป็นผลอันเนื่องมาจากการ ผลักกัน อันเนื่องมาจากการความเกลากของ อะตอนไโซโรเจนนหมู่ฟีนิล กับ อะตอนโซกซิเจน ของหมู่

การบอนิด ซึ่งการที่มุนมีขนาดแตกต่างไปจาก ขนาดปกติ จึงทำให้เชื่อได้ว่ามุนดังกล่าว มีความเครียด (Angular Strained) ได้

จากผลของการวิเคราะห์โครงสร้างของ สารประกอบวงแหวน โอลิโกลิการ์บอนเนทนาเดท่ากับ 2 ด้วย เทคนิค X-ray ทำให้เราสามารถเชื่อได้ว่า โมเลกุล ของสารประกอบวงแหวนดังกล่าว มีความเครียด ภายในโมเลกุล อันเป็นผลจาก 3 ตัวแปร ได้แก่ การจัดโครงสร้างแบบ *trans, cis* ซึ่งมีผล้งานมากกว่า การจัดโครงสร้างแบบ *trans, trans* ซึ่งมีผล้งงานต่ำกว่า บุณการบินของวงแหวนพิโนลิโนในโมเลกุล ที่ แตกต่างไปจากบุณปอดิทั่วไปของสารวงแหวนคาร์บอนेट และ ศุดท้ายได้แก่ บุณระหว่างพันธะของ C<sub>R</sub>-O-C ที่มีค่ามากกว่าบุณพันธะ ดังกล่าวในโมเลกุล ที่ไม่มีความเครียด ผลทั้ง 3 ประการนี้ ทำให้ โมเลกุลของสารประกอบวงแหวนไดเมอร์เกิดความเครียด และ เป็นเหตุทำให้เกิดปฏิกิริยากรุบีคิว แหวน ขณะที่คายผล้งงานออกมานะ และได้ผลลัพธ์เป็นโซ่อร์ชองพอลิเมอร์ ที่ไม่มีความเครียดภายใน โมเลกุล ในที่สุด

## 2.2 สารประกอบวงแหวนโอลิโกลิการ์บอนเนทนาเดท่ากับ 3 (Cyclic Trimer)

รูปที่ 3.3 แสดงภาพ “Stereoscopic” ของวงแหวนนาเดท หรือ ไตรเมอร์ (Cyclic Trimer) ที่ได้จากการ วิเคราะห์ด้วยเทคนิค X-ray อย่างที่คาดหวังไว้แต่ดันว่า ผลลัพธ์ของวงแหวนดังกล่าวจะมีลักษณะของ พลีกเป็น “Monoclinic-hetahemisovate” ก็อ รูปร่างลักษณะของพลีกจะถูกดัดแปลงด้วยโมเลกุลของ เบนซินจำนวน 7 วง ที่อยู่ระหว่างช่องว่างของโมเลกุลของวงแหวน 2 วง โดยที่ไม่มีโมเลกุลของเบนซิน เข้าไปอยู่ภายในของวงแหวนเลย จากการสังเกตพบว่า โมเลกุลของเบนซินที่อยู่ในผลลัพธ์ของวงแหวนทั้ง 2 ไม่มีปฏิสัมพันธ์ใดๆ กัน ไม่เกิดข้อความแหวนเลย ไม่ว่าจะเป็นทางกายภาพ หรือ เคมี ก็ตาม ซึ่ง เหตุผลการเข้าไปอยู่ประกอบเป็นโครงสร้างพลีกของวงแหวนนาเดท 3 นี้ ไม่สามารถอธิบายได้ โดยที่ถ้า ไม่มี โมเลกุลของเบนซินดังกล่าว โครงสร้างของพลีกก็ไม่สามารถอยู่กันเป็นรูปพลีกได้

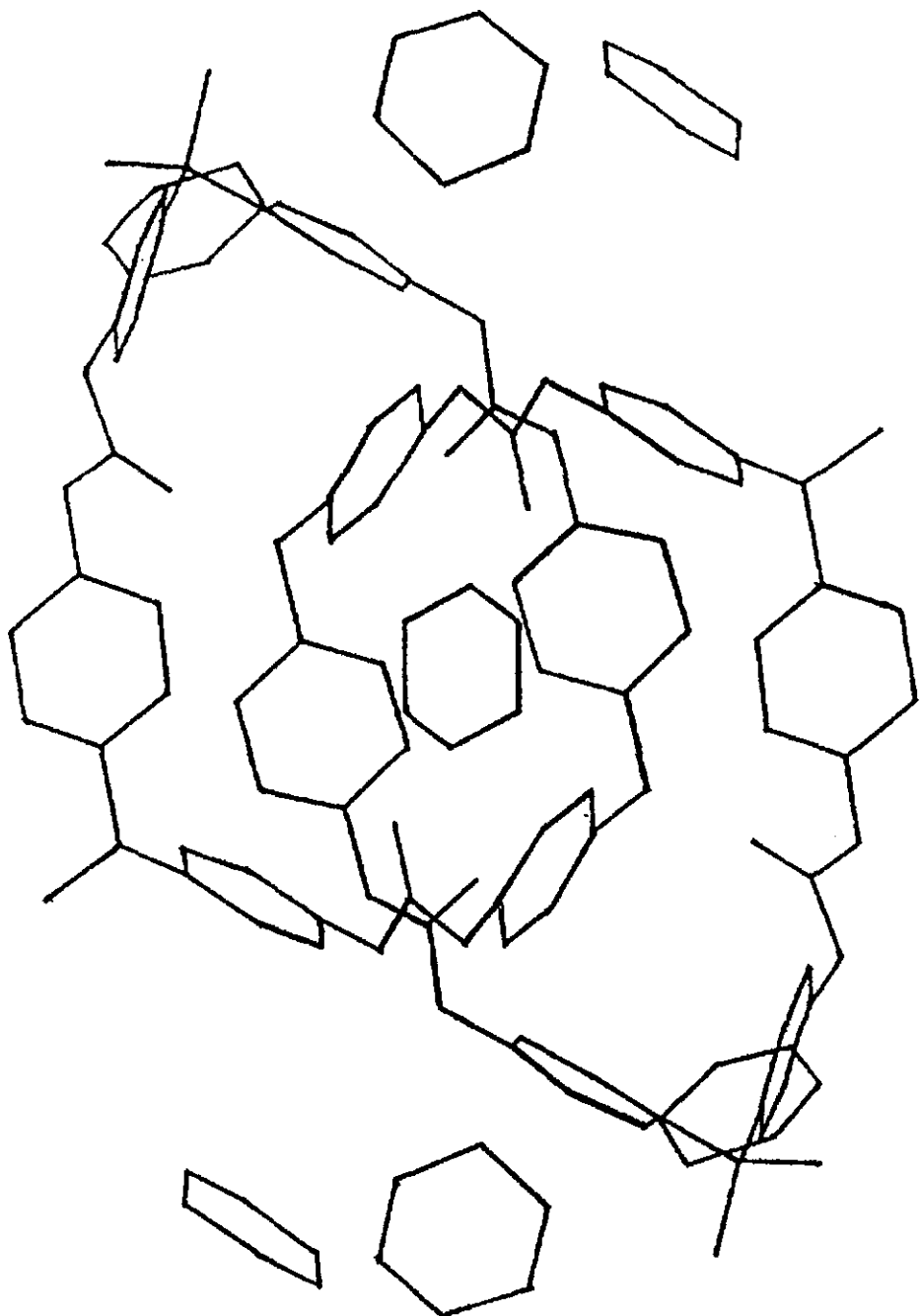
รูปที่ 3.4 แสดงโครงรูปโมเลกุลของวงแหวนนาเดท 3 และ การติดฉลากตัวเลขของอะtomต่างๆ ของ โมเลกุล ซึ่งได้ผลวิเคราะห์ X-ray เป็นที่น่าแปลกใจว่าการจัดโครงรูปของวงแหวนไตรเมอร์ มีการจัด โครงสร้างโมเลกุลเป็นแบบ *trans, trans* เมื่อเทียบกับโซ่อร์ชองพอลิการ์บอนेट ซึ่งต่างจากการจัด โครงสร้างของวงแหวนไดเมอร์ ที่มีการจัดโครงสร้างเป็นแบบ *trans, cis* ซึ่งจากผลที่ได้ ทำให้เรากล่าว ได้ว่าโมเลกุลของวงแหวนนาเดท 3 นี้ เสถียรมากกว่าวงแหวนนาเดท 2 หรือ กล่าวอีกนัยหนึ่งคือวงแหวน

ขนาด 3 นี้ มีความเครียดภายในไม่เลกุล อันเนื่องมาจากการสร้างของไม่เลกุลน้อยกว่า วงแหวนไคเมอร์ ซึ่งเป็นไปได้ว่าถ้าวงแหวนขนาด 4 หรือ วงแหวนไครเมอร์ สามารถนำมารวิเคราะห์ด้วยเทคนิค X-ray ได้ สักยละเอียดรูปของไม่เลกุลจะเป็นแบบ *trans, trans* เหมือนกับวงแหวนขนาด 3 เช่นกัน

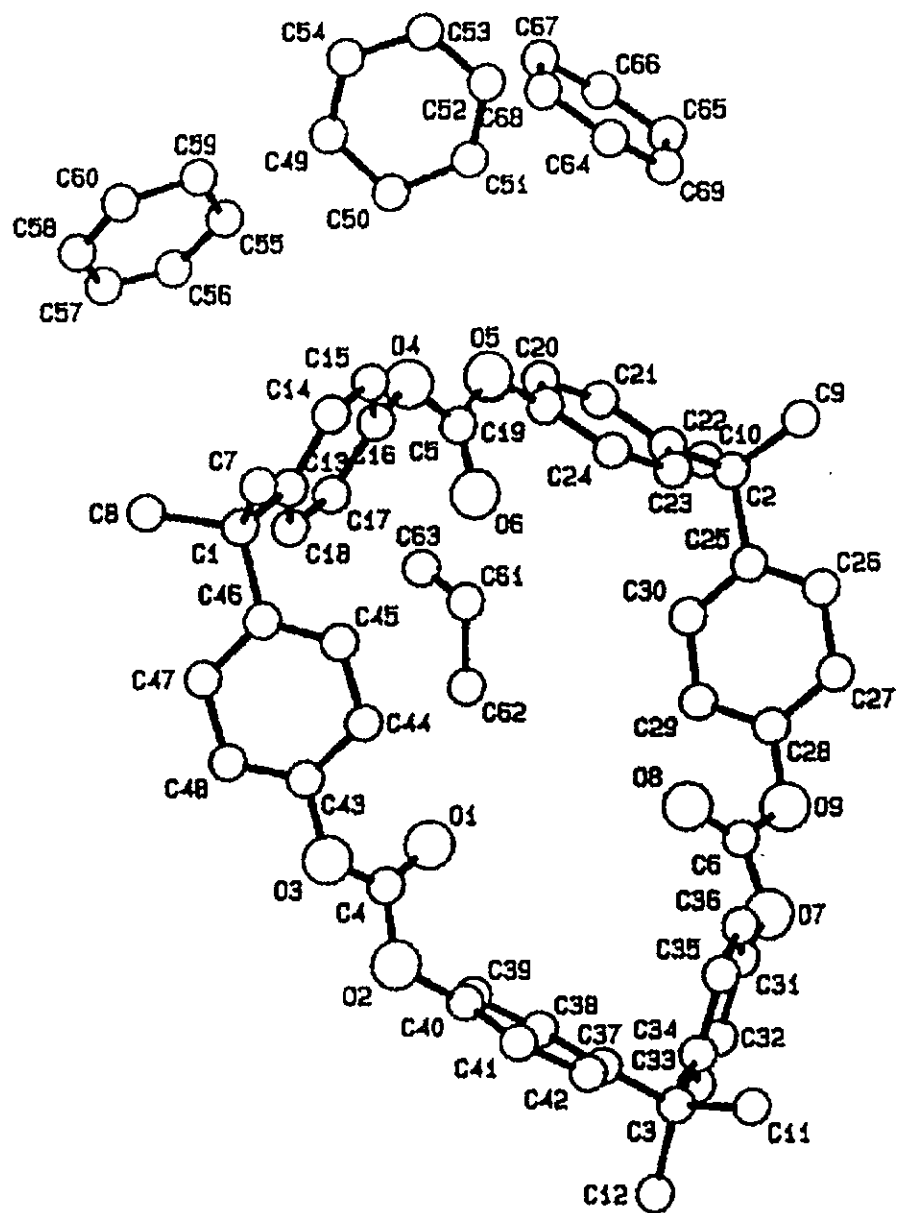
เช่นเดียวกับวงแหวนขนาด 2 สำหรับวงแหวนขนาดเท่ากับ 3 เมื่อเราพิจารณา มุมของหมู่วงแหวนพินิลที่กระทำกับพื้น面ที่เกาอยู่ (Torsion Angles,  $\phi$ ) และ มุมที่วงแหวนพินิลทั้ง 2 ข้างกระทำซึ่งกันและกัน (Interplanar Dihedral Angles,  $\theta$ ) ที่สูงในตารางที่ 3.3 และ ทำการเปรียบเทียบมุมเหล่านี้ กับมุมของไม่เลกุลคล้ายกัน แต่ไม่มีความเครียดภายในไม่เลกุล จะพบว่า มุมเหล่านี้ของวงแหวนไครเมอร์ มีขนาดแตกต่างจากมุมปกติ อย่างเห็นได้ชัด ซึ่งความแตกต่างที่พบนี้ เป็นหลักฐานหนึ่งที่แสดงว่าไม่เลกุลของวงแหวนขนาด 3 นี้ มีความเครียดภายในไม่เลกุล

ตารางที่ 3.4 แสดงค่ามุมพื้น面 และ ขนาดความยาวพื้น面 ของวงแหวนไครเมอร์ ที่ได้จากการวิเคราะห์ด้วยเทคนิค X-ray จากผลการวิเคราะห์ แสดงให้เห็นว่า ขนาดความยาวพื้น面ของหมู่การบอนเนต และ หมู่การบอนที่ต่อเชื่อมวงแหวนพินิลเข้าด้วยกัน (Isopropylidene Center) มีขนาดใกล้เคียงกับ ความยาวพื้น面ของสารประกอบวงแหวนเอสเทอร์ และ สารประกอบวงแหวนคาร์บอนเนตทั่วไป ที่แสดงไว้ในตารางที่ 3.2 และ เท่ากับความยาวพื้น面ของ วงแหวนไครเมอร์ด้วย เช่นเดียวกันกับมุมระหว่างพื้น面 ของ  $C_r-O-C$ ,  $O-C-O$  และ  $O-C-O$  ซึ่งมีค่าอยู่ในช่วงค่ามุมของ สารประกอบวงแหวนเอสเทอร์ และ สารประกอบวงแหวนคาร์บอนเนต โดยทั่วไป ถ้าเช่นเดียวกับ มุมระหว่างพื้น面ของ  $C_r-O-C$  ก็ไม่ได้ผิดปกติไปจากมุมพื้น面โดยทั่ว เหมือนที่สังเกตพบในไม่เลกุลของวงแหวนไครเมอร์ ที่ผ่านมา

จากผลที่ได้ ทำให้เราสามารถสรุปได้ว่า สำหรับไม่เลกุลวงแหวนขนาด 3 หรือ วงแหวนไครเมอร์นี้ ไม่มีความเครียดภายในไม่เลกุลอันเนื่องมาจากการรูปของไม่เลกุล ไม่มีความเครียดจากมุมพื้น面 และ ความยาวพื้น面ภายในไม่เลกุล ความเครียดของไม่เลกุลเป็นผลอันเนื่องมาจากการบิดของวงแหวนพินิล เพียงอย่างเดียวเท่านั้น



รูปที่ 3.3 ภาพ “Stereoscopic” ของวงแหวน โอลิโกการ์บอนेटขนาดเท่ากับ 3



รูปที่ 3.4 ภาพโครงสร้างแบบ trans, trans ของวงแหวนไตรเมอร์ จากเทคนิค X-ray

ตารางที่ 3.4 สรุปค่ามุมพันธะ และ ความยาวพันธะ ของสารประกอบวงแหวน โอลิโกร์บอเนต  
ขนาด เท่ากับ 3 วิเคราะห์จากเทคนิค X-ray

ชนิดของพันธะ	มุมพันธะ	ความยาวพันธะ(Å)
Oxygen Ester:		
C <sub>4</sub> -O <sub>2</sub> -C <sub>40</sub>	116.9	1.337, 1.416
C <sub>4</sub> -O <sub>3</sub> -C <sub>43</sub>	117.3	1.315, 1.423
C <sub>5</sub> -O <sub>4</sub> -C <sub>16</sub>	119.3	1.319, 1.419
C <sub>5</sub> -O <sub>5</sub> -C <sub>19</sub>	120.5	1.332, 1.398
C <sub>6</sub> -O <sub>9</sub> -C <sub>28</sub>	119.3	1.319, 1.419
C <sub>6</sub> -O <sub>7</sub> -C <sub>31</sub>	119.1	1.340, 1.427
Carbon Carbonyl:		
O <sub>4</sub> -C <sub>5</sub> -O <sub>5</sub>	108.1	1.319, 1.332
O <sub>3</sub> -C <sub>4</sub> -O <sub>2</sub>	108.3	1.315, 1.337
O <sub>9</sub> -C <sub>6</sub> -O <sub>7</sub>	106.6	1.334, 1.340
Carbonyl:		
C <sub>6</sub> -C <sub>5</sub> -O <sub>4</sub>	127.2	1.198, 1.332
O <sub>6</sub> -C <sub>5</sub> -O <sub>5</sub>	124.7	_, 1.332
O <sub>8</sub> -C <sub>6</sub> -O <sub>9</sub>	126.9	1.181, 1.334
O <sub>8</sub> -C <sub>6</sub> -O <sub>7</sub>	126.6	_, 1.340
O <sub>1</sub> -C <sub>4</sub> -O <sub>3</sub>	126.0	1.178, 1.315
O <sub>1</sub> -C <sub>4</sub> -O <sub>2</sub>	125.7	_, 1.337
Tertiary Carbon:		
C <sub>46</sub> -C <sub>1</sub> -C <sub>13</sub>	108.4	1.534, 1.535
C <sub>22</sub> -C <sub>20</sub> -C <sub>25</sub>	107.4	1.529, 1.557
C <sub>34</sub> -C <sub>3</sub> -C <sub>37</sub>	108.6	1.523, 1.517

บทที่ 4  
สรุปผลการทดลอง  
(CONCLUSION)

วงแหวนโซลิโกลาร์บอนเนทที่มีขนาดวงแหวน 2, 3 และ 4 สามารถเตรียม และ แยกบริสุทธิ์ออกมานเป็น พลีกเดี่ยว โดยการตقطกอน ได้ จากการวิเคราะห์โครงสร้างพลีกเดี่ยวของโมเลกุลวงแหวน 2 ขนาดคือ วงแหวนขนาดเท่ากับ 2 หรือ ไคเมอร์ และ วงแหวนขนาดเท่ากับ 3 หรือ วงแหวนไตรเมอร์ ด้วยเทคนิค X-ray Driffractometer พบว่า ความเครียดของโมเลกุล ซึ่งเป็นสาเหตุ ที่ทำให้โมเลกุลดังกล่าว เกิดปฏิกิริยาการเปิดวงแหวน และได้ผลลัพธ์ เป็นโซ่อร์ของพอลิเมอร์ได้ โดยที่ความเครียดภายใน โมเลกุลเป็นผลมาจากการบีบมุมของหมู่วงแหวนฟินิล และ สำหรับวงแหวนขนาดเท่ากับ 2 ความเครียด ภายใน โมเลกุลยังเป็นผลอันเนื่องมาจากมุมพันธะ และ ความยาวพันธะของหมู่كار์บอนे�ท ที่เชื่อม ระหว่าง วงแหวนฟินิล ทั้งสองภายใน โมเลกุลอีกด้วย

### ເອກສານອ້າງອີງ

#### (References)

1. Brown, C.J. (1954). *Acta. Cryst.* 7. 92.
2. Schnell, H. and Bottenbruch, L. (1962). *Makromol. Chem.* 57. 1.
3. Dreyfuss, M.P. and Dreyfuss, P. (1966). *J. Polym. Sci. A-1.* 4. 2179.
4. Williams, A.D. and Flory, P.J. (1968). *J. Polym. Sci. A-2.* 54. 664.
5. Adams, J.M. and Morsi, S.E. (1976) *Acta. Cryst.* B32. 1345.
6. Dulmage, W.J., Light, W.A., Mario, S.J., Salberg, C.D., Smith, D. L. and Staudenmayer, W.J. (1978). *J. Appl. Phys.* 49(11). 5543.
7. Nakanishi, H., Ueno, K. and Sasada, Y. (1978). *Acta. Cryst.* B34. 2036.
8. Ueno, K., Nakanishi, H. and Hasegawa, K. (1978). *Acta. Cryst.* B34. 2034
9. Erma, B., Marvin, D.C., Irvin, P.A. and Flory, P.J. (1982). *Macromolecules.* 15. 664.
10. Eckert, H. and Forster, B. (1987). *Angew. Chem. Int. Ed. Engl.* 26(9). 894.
11. Bicerana, J. and Clark, H.A. (1988). *Macromolecules.* 21. 585.
12. Daly, W.H. and Poche', D. (1988). *Tetrahedron. Lett.* 29. 5859.
13. Boden, E.P., Brunelle, D.E. and Shannon, T.G. (1989). *Polym. Prep.* 30(2). 571.
14. Brunelle, D.E., Evans, T.L., Shannon, T.G., Boden, E.P., Stewart, K.R., Fontana, L.P. and Bonauto, D.K. (1989). *Polym. Prep.* 30(2). 569.
15. Coglan, M.J. and Caley, B.A. (1989). *Tetrahedron. Lett.* 30(1). 2033.
16. Brunelle, D.J., T.G., Boden, E.P. and Shannon, T.G. (1990). *J. Am. Chem. Soc.* 112. 2399.

## ประวัติผู้วิจัย

### **BIODATA:**

<b>Date of Birth</b>	March 24, 1967
<b>Age</b>	36
<b>Place of Birth</b>	Phare
<b>Marriage Status</b>	Single
<b>Personal Profile</b>	180 cm, 66 kg

### **EDUCATION:**

B.Sc (Hon.), **Chemistry**, 1990  
 Department of Chemistry, Chaingmai University, Chaingmai,  
 Thailand(Under scholarship of *The Development and Promotion of  
 Science and Technology Talents Project (DPST)*)

PhD., **Chemistry and Chemical Technology**, 1994  
 Dept. of Chemical Engineering, University of Bradford, UK(Under  
 scholarship of *The Development and Promotion of Science and Technology  
 Talents Project (DPST)*)

### **EXPERIENCES:**

2000	Research Fellowship, Department of Plastic Engineering, University of Leoben, Austria( <i>Granted by Thai-Austria Scholarship</i> )
1999 – present	Head of School of Polymer Engineering( <i>Acting</i> ), Suranaree University of Technology
1999 – present	Company Consultant at <i>Cobra International Co. Ltd.</i>
1996 - present	Assistant Professor in Polymer Engineering, School of Polymer Engineering, Suranaree University of Technology

1994 – 1996	Lecturer in Polymer Engineering, School of Polymer Engineering, Suranaree University of Technology
1999	Training of the Trainer Program in <i>The Competency-based Economies through Formation of Enterprise</i> (CEFE) for Small and Medium Enterprises(SMEs)
1996	Visiting Scientist, Department of Chemical Technology, Technical University of Graz, <b>Austria</b> (Granted by <i>Thai-Austria Scholarship</i> ) ● Study the Conductivity of the Ozone Treated Carbon Fiber
1995	Visiting Researcher, School of Polymer Engineering, Luleå University, <b>Sweden</b> (Granted by <i>The Swedish Institute</i> )

**Research Topics Involved:**

- Preliminary Study to Construct Racing Bicycle from Composite Polymers (*Financial support from National Metal and Materials Technology Center, MTEC*)
- Study of Conformation of Cyclic Carbonates Using X-ray Diffraction(*Financial support from Thai Research Council*)
- Environmental Aspect of Polystyrene Degradation(*Master Thesis for Environmental Engineering Graduate Program*)
- The Use of Polymeric Coagulant in Water Treatment(*Master Thesis for Environmental Engineering Graduate Program*)
- Feasibility Study of Using Starch as Filler for Producing the Biodegradable Injection Molded Products(*Financial support from Thai Research Council, co-researcher*)
- Preliminary Study of Using Carbonized Rice Hull as Engineering Plastics Filler(*Financial support from Thai Research Council, co-researcher*)

- Compounding of Engineering Polymer(*Financial support from Thai Research Council*)
- Resin Formulation For Windsurf and Surfboard Manufacturing(*Financial Support from Thailand Research Fund(TRF) and Cobra International Co. Ltd.*)
- Optimal Design for Manufacturing Fiber Reinforced Propeller Fans Used in Cooling Tower(*Financial Support from Thailand Research Fund(TRF) and BKK Cooling Co. Ltd.*)

#### **PUPBLICATIONS AND AWARDS:**

**PhD. Thesis Title:** Ring Opening Polymerisation of Cyclic Oligocarbonates

**Scientific Papers:**

- Solid-State Polymerisation of Cyclic Oligocarbonates, *2<sup>nd</sup> International Conference on Advanced Polymers via Macromolecular Engineering(APME'97)*, Orlando, Florida, 1997.(*Oral Presentation*)
- Synthesis of Bischoloformate of Bisphenol A Using Solid Triphosgene, *The First Thailand Materials Science and Technology Conference*, Bangkok, 2000.(*Poster Presentation*)
- Environmental Aspect of Polystyrene Foam Degradation, *The First Thailand Materials Science and Technology Conference*, Bangkok, 2000.(*Poster Presentation*)
- Environmental Aspect of Polystyrene Foam Degradation, *The 10<sup>th</sup> Chemical Engineering and Applied Chemistry of Thailand Conference*, Bangkok, 2000.(*Oral Presentation*)
- Environmental Engineering Approach on Polystyrene Foam Degradation, *IUPAC International Conference on Green Chemistry*, Delhi, India, 2001(*Oral Presentation*)

- Comparative Study of Polystyrene Degradation in the Open-air and Artificial Weathering Exposure, *ANTEC 2002*, San Francisco, U.S.A, 2002(Oral Presentation)
- Comparative Study of Polystyrene Degradation in the Open-air and Artificial Weathering Exposure, *The Arab. J. for Sci. & Eng.*, **27**, 25, (2002)
- Effect of Photo Accelerators on the Degradation of Polystyrene Foam, *Polym. Degrad. Stab.*, submitted(2003)